



Memòria de l'excavació programada realitzada a

---

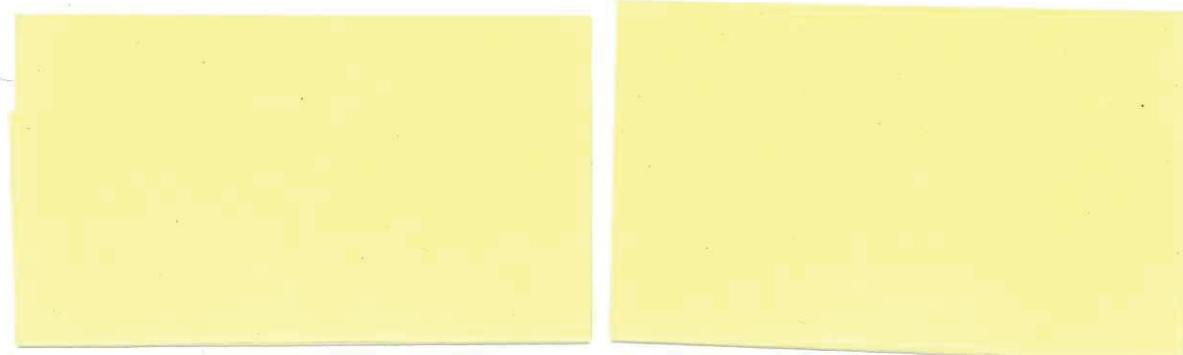
## **LA CANSALADETA**

### **LA RIBA (ALT CAMP)**

---

Entre els dies 12 i 23 de maig de 2003

Direcció de l'excavació:



Tarragona, juny de 2003

**Elaboració de la memòria:**

Diego Angelucci, Isabel Cáceres, Marta Fontanals, Lucía López-Polín, Marina Lozano, Andreu Ollé, Xosé Pedro Rodríguez i Josep Maria Vergès.

**Participació a l'excavació:**

Andreu Ollé, Xosé Pedro Rodríguez i Josep Maria Vergès.

## **FITXA TÈCNICA**

**Nom del jaciment:** La Cansaladeta

**Terme municipal:** La Riba

**Comarca:** Alt Camp

**Coordenades UTM:** -X: 348.050

-Y: 4.575.380

**Altitud:** 265 m.s.n.m.

**Accés:** Es troba al peu de la carretera C-240.

**Context:** En uns bancals de conreu abandonats, en el tall de la carretera C-240 al seu pas per l'estret de la Riba.

**Tipus de jaciment:** Abric calcari amb una successió sedimentària al·luvial i col·luvial que conté diversos nivells arqueològics.

**Cronologia:** Plistocè Mitjà final.

**Direcció:** Josep M. Vergès i Bosch

Andreu Ollé Cañellas

**Intervenció:** Del 10 al 31 d'octubre de 2002

**Estat de conservació:** Mitjà, exposat als efectes de l'erosió.

**Protecció:** Plàstic cobert amb sediment a la zona intervinguda el 2003.

**Sigles del material recuperat:** CAN03 + Nivell + quadrícula + núm. objecte

**Propietari dels terrenys:** Família Muller

**Promotor:** Ajuntament de la Riba i Universitat Rovira i Virgili

**Finançament:** Ajuntament de la Riba i Universitat Rovira i Virgili.

**Materials:** En dipòsit dels directors de l'excavació a l'Àrea de Prehistòria de la Universitat Rovira i Virgili.

## ÍNDEX

---

I.	Situació del jaciment de la Cansaladeta	6
II.	Context geològic	7
III.	Notícies històriques i anteriors intervencions	9
IV.	Motivacions i objectius de l'excavació	10
V.	Metodologia de la intervenció	11
VI.	Estratigrafia	12
VII.	Conclusions	20
ANNEX I. Inventari general		21
ANNEX II. Estudi dels materials		32
I.	Estudi de la indústria lítica	32
II.	Estudi de les restes faunístiques	35
ANNEX III. Fotografies dels materials més significatius		37
I.	Industria lítica	37
II.	Fauna	40
ANNEX IV. Planimetria i descripció de les seccions		42
ANNEX V. Plantes amb la distribució del material arqueològic		46
ANNEX VI. Diari de camp		48
ANNEX VII. Fotografies de l'excavació		50
BIBLIOGRAFIA		52

## ÍNDEX DE FIGURES I TAULES

---

Figura 1. Situació del jaciment de la Cansaladeta. Extret del mapa topogràfic de Catalunya 1:5.000. Full 446-1-1. La Riba	6
Figura 2. Columna estratigràfica de la Cansaladeta	19
Figura 3. Gràfica amb el total d'efectius per nivells d'indústria lítica de les campanyes de 1999, 2002 i 2003	34
Figura 4. Distribució de les restes faunístiques per categories d'identificació	35
Figura 5. Base Positiva de sílex, Nivell J, quadre K25, núm. 473	37
Figura 6. Base Positiva de sílex, Nivell J, quadre K25, núm. 475	37
Figura 7. Fragment de Base Negativa de 1 <sup>a</sup> Generació d'Explotació (nucli) de sílex, Nivell K, quadre K25, núm. 315	37
Figura 8. Base Positiva de sílex, Nivell K, quadre K25, núm. 151	37
Figura 9 . Base Positiva de sílex, nivell K, quadre K25, núm. 80	38
Figura 10. Base Positiva de sílex, nivell K, quadre K25, núm. 27	38
Figura 11. Base Positiva de quarsita, nivell K, quadre K25, núm. 301	38
Figura 12. Fragment de quars, Nivell K, quadre K25, núm. 121	38
Figura 13. Base Negativa de 2 <sup>a</sup> Generació de Configuració, tallada en sílex. Nivell K, quadre K25, núm. 70	39
Figura 14. Base Negativa de 2 <sup>a</sup> Generació de Configuració, tallada en sílex, Nivell K, quadre K25, núm. 111	39
Figura 15. Base Negativa de 2 <sup>a</sup> Generació de Configuració, tallada en sílex, Nivell K, quadre K25, núm. 175	39
Figura 16. Remuntatge entre dues peces de sílex. Nivell K, quadre K25, núms. 237 i 305	39
Figura 17. Fragment d'os llarg totalment alterat, recobert de concreció calcària i amb reblert de sediment carbonatat. Nivell K, quadre K25, núm. 148	40
Figura 18. Detall de l'os de la imatge anterior, en la zona menys alterada	40
Figura 19. Fragment d'os llarg d'un animal de talla gran, cobert de concreció. Nivell K, quadre K25, núm. 119	41
Figura 20. Fragment d'os llarg alterat i fracturat. Nivell K, quadre K25, núm. 103	41
Figura 21. Planta del jaciment de La Cansaladeta, amb cotes referides al nivell 0 de l'excavació	43
Figura 22. Secció transversal de l'Estret de La Riba, a la zona on es troba el jaciment de La Cansaladeta	44
Figura 23. Secció transversal del jaciment de La Cansaladeta, per la línia dels quadres 25	45
Figura 24. Cansaladeta 2003. Planta de distribució del material coordinat del nivell J, amb les cotes inferiors	46
Figura 25. Cansaladeta 2003. Planta de distribució del material coordinat del nivell K, amb les cotes inferiors	47
Figura 26. Vista general de l'excavació a l'inici de la campanya de 2003. Els quadres intervinguts durant aquesta han estat els de la meitat dreta de la fotografia	50
Figura 27. Excavació del nivell K al quadre K-25	50
Figura 28. Aspecte del nivell K al quadre K-25	51
Figura 29. Base natural de gres del nivell K al quadre K-25	51
Figura 30. K-25, nivell K, indústria lítica en sílex i fauna	51
Taula 1 Taula 1: Indústria lítica del nivell J de La Cansaladeta (excavació 2003), en funció de la matèria primera i la categoria estructural	32
Taula 2: Indústria lítica del nivell K de La Cansaladeta (excavació 2003), en funció de la matèria primera i la categoria estructural	33

## I. SITUACIÓ DEL JACIMENT DE LA CANSALADETA (LA RIBA, ALT CAMP)

El jaciment de la Cansaladeta està situat al terme municipal de la Riba (Alt Camp), a la riba esquerra del riu Francolí al seu pas per l'estret de la Riba, dins la zona coneguda com a Coster de la Cansaladeta. Els nivells arqueològics es localitzen a la part superior d'una terrassa fluvial seccionada per les obres d'ampliació de la C-240. Més concretament, el dipòsit sedimentari que conté els materials arqueològics es troba situat al peu d'un antic abric, avui en dia totalment desmantellat, a una alçada de 265 metres s.n.m., i de 50 metres sobre el llit actual del riu Francolí. Les seves coordenades UTM són X: 348.075 Y: 4.575.380

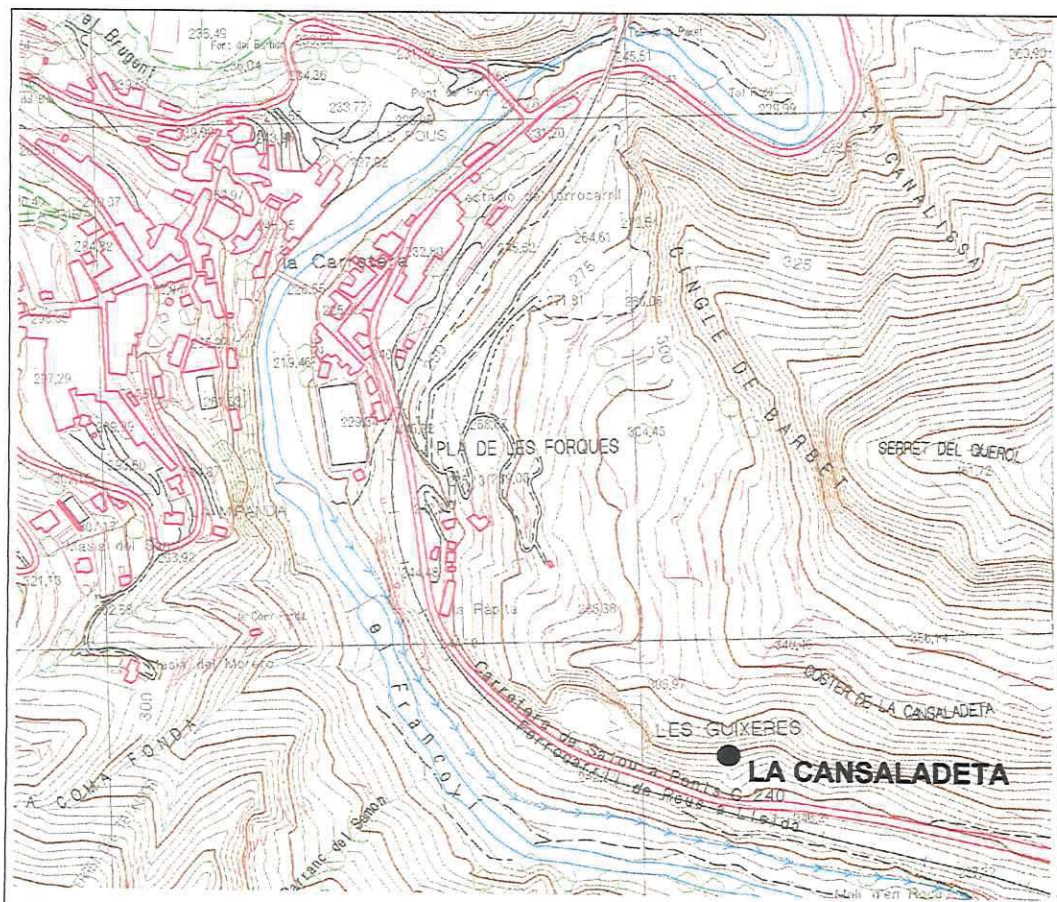


Figura 1. Situació del jaciment de la Cansaladeta. Extret del mapa topogràfic de Catalunya 1:5.000. Full 446-1-1. La Riba.

## II. CONTEXT GEOLÒGIC

---

Des d'una perspectiva geològica, l'Estret de la Riba es troba a la Serralada Prelitoral, unitat estructural que forma part del sistema de les Catalànides. Aquest massís, aproximadament paral·lel a la línia de costa, constitueix un bloc tectònic aixecat que divideix dues depressions tectòniques, la Conca de Barberà cap al N i el Camp de Tarragona cap al S. L'Estret de la Riba, que talla aquesta serra muntanyosa i separa el Massís de Prades de la Serra de Miramar, permet les comunicacions entre la Depressió Central Catalana i la franja costanera.

L'esquelet geològic de la Serralada prelitoral està format per formacions rocoses del Paleozoic i del Mesozoic, majoritàriament d'origen sedimentari. A la zona de l'Estret de la Riba afloren unitats sedimentàries del Triàsic (245-208 milions d'anys), formades per gresos i microconglomerats vermellosos (unitat esmentada com *Bundsantstein*) i per calcàries ben estratificades i guixos (*cfr. Muschelkalk*). Totes aquestes unitats cabussen irregularment cap al nord, i estan caracteritzades per diversos accidents estructurals com falles i plecs. L'alternança entre litologies amb diferent grau de resistència a l'erosió causa la formació del perfil esglaonat, que és un dels trets més destacats de la morfologia de la vall. Probablement aquesta vall està alineada amb una falla.

Pel que fa les formacions quaternàries, a l'Estret es troba una panòplia de sediments de gènesi diferencial. Els sediments fluvials estan ben representats per la presència d'uns quants nivells de terrasses fluvials amb diferent grau de conservació, on afloren graves i llims al·luvials. Els dipòsits de vessant estan formats per col·luvions i sediments de peu de mont que recobreixen els flancs de la vall i que es poden correlacionar amb les mateixes terrasses al·luvials. La seqüència de les diverses terrasses i glacis ens permetrà reconstruir l'evolució morfodinàmica de la vall i les diferents etapes de rebliment i encaixonament del riu. El jaciment de la Cansaladeta es troba en la part estratigràficament més alta d'una terrassa al·luvial, localitzada aproximadament a 40-45 metres d'alçada sobre el llit actual del riu Francolí.

No es registren formacions de tova de tipus travertínic en la pròpia vall, però es desenvolupen a la vora esquerra del Francolí, a la sortida de l'Estret de la Riba.

Els sols antics són poc desenvolupats, degut a l'elevada energia del relleu, que impedeix la conservació dels perfils edàfics.

### III. NOTÍCIES HISTÒRIQUES I ANTERIORS INTERVENCIONS

---

Fins al moment de la seva descoberta, realitzada de forma casual l'octubre de 1998 per part de membres de l'equip de l'Àrea de Prehistòria de la Universitat Rovira i Virgili, no es tenia notícia de l'existència del jaciment de la Cansaladeta. Tot i que el seu dipòsit sedimentari es va veure afectat per les obres d'ampliació realitzades la carretera C-240 a inicis dels anys 80, amb la destrucció d'una part significativa del jaciment, la manca d'un seguiment arqueològic dels treballs impedí que en aquell moment es portés a terme la localització i documentació del jaciment.

El juny de 1999 es va realitzar una excavació d'urgència encaminada a intervenir en la zona sudest del jaciment (est teòric), el sector més afectat per l'erosió, per tal d'evitar-ne la pèrdua, elaborar una seqüència del jaciment i valorar la viabilitat de futures campanyes d'excavació. El jaciment i els primers resultats es presentaren al cicle *Tribuna d'Arqueologia 2000* (Angelucci *et al.* e.p.).

L'octubre de 2002 es va realitzar una excavació programada, que va afectar tota l'àrea intervinguda el 1999, i que comportà una petita ampliació cap al sud (veure plànimetria a la memòria presentada al Servei d'Arqueologia el febrer de 2003).

## IV. MOTIVACIONS I OBJECTIUS DE LA INTERVENCIÓ

---

Els resultats de l'excavació d'urgència realitzada el 1999 portaren a incloure aquest jaciment entre els d'excavació programada en el marc del projecte de recerca titolat *Evolució paleoambiental i poblament prehistòric a les conques altes dels rius Francolí i Gaià*.

La campanya de 2002 s'enfocà clarament a continuar els treballs en l'àrea intervinguda el 1999. L'objectiu principal era el d'excavar el tram inferior de la seqüència, ampliar a banda i banda (quadres K22, K25 i K26) la secció efectuada inicialment (K23 i K24), i comprovar si existien més nivells arqueològics per sota de la cota a la qual s'havia arribat durant la primera excavació. Paral·lelament, es plantejà continuar intervenint a la part superior de la seqüència, al nivell D, en els mateixos quadres que el 1999 (L i M, de 22 a 25).

El 2003 s'ha realitzat una campanya de mitjana durada i amb la participació de pocs excavadors, dirigida a intervenir de forma exclusiva als nivells inferiors, als quadres K25 i K26. Es plantejà el doble objectiu de recuperar informació dels nivells dels quals se'n disposava menys, els basals, i, alhora, de deixar a la vista una secció contínua NW-SE (E-W teòric, entre les línies K i L), per tal de poder documentar bé la successió estratigràfica.

## V. METODOLOGIA DE LA INTERVENCIÓ

---

La intervenció arqueològica es portà a terme entre els dies 12 i 23 de maig de 2003, per part d'un equip de l'Àrea de Prehistòria de la URV, sota la direcció tècnica d'Andreu Ollé Cañellas i Josep Maria Vergès Bosch.

La quadrícula i el punt zero utilitzats foren els mateixos que les campanyes anteriors. Durant l'excavació s'han recollit tots els materials susceptibles de formar part del registre arqueològic, així com diferents tipus de mostres per tal de realitzar datacions i estudis de tipus paleoambiental. Tots els elements recollits han estat coordinats tridimensionalment i disposen d'una numeració individual i consecutiva amb els de 1999 i 2002 que permet identificar-los.

S'ha intervingut únicament als quadres K25 i K26, acabant el que restava de nivell J (només a K25) i arribant pràcticament a la base del nivell K en ambdós quadres. L'objectiu inicial d'arribar a la base de la successió estratigràfica no s'ha pogut assolir a causa de la gran quantitat de material aparegut. Així doncs, no es disposarà d'una secció contínua de tota la successió (del quadre 23 al 26) fins la propera campanya.

## VI. ESTRATIGRAFIA

---

La reconstrucció de la estratigrafia de la Cansaladeta està feta a partir la descripció de seccions i perfils abans i durant els treballs d'excavació. En aquest apartat, no hi ha cap modificació respecte la informació presentada a la memòria de la campanya de 2002. Cada secció està individualitzada per la lletra X; les seccions descrites són:

- X1 secció del tall amb nivells arqueològics, orientada E-W (paral·lela a la paret), aixecada el 1998
- X2 secció orientada N-S (perpendicular a la paret), que talla el marge
- X3 perfil principal de la seqüència (jaciment-carretera)
- X4 secció superior de l'excavació 1999 (quadrícules M-22, M-23, M-24, M-25)
- X5 secció inferior de l'excavació 1999 (quadrícules L-23 i L-24)

Les unitats individualitzades s'indiquen amb la lletra H.

La seqüència del jaciment està organitzada en quatre conjunts principals:

- 1 RM rebliments del marge
- 2 DV dipòsits de vessant
- 3 CA conjunt arqueològic

### 1 Conjunt RM

Aquest conjunt es relaciona amb la construcció del marge que es troba paral·lel a la paret de l'abric.

Es tracta d'uns rebliments amb caràcters mixtos, d'origen antròpic, on s'ha desenvolupat un perfil de sòl AC. En la secció X2, transversal a la paret, s'han reconegut 6 unitats

X2-H1A Franco llimós amb pedres comunes (frr. s/ang. i s/arr. heteromètrics - mida màxima 3 cm), 7.5YR4/3, estructura granular fina moderadament desenvolupada, dèbil, matèria orgànica comuna, activitat biològica intensa, límit inf. clar.

X2-H2bAp Franco llimós amb pedres comunes (frr. s/ang. i s/arr. heteromètrics - mida màxima 3 cm), 7.5YR4/4, estructura granular fina dèbilment desenvolupada, dèbil, matèria orgànica escassa, activitat biològica intensa, límit inf. clar.

X2-H3-- Franco llimós arenós amb pedres freqüents (frr. s/ang. i s/arr. heteromètrics, frr. s/arr. i arr. del sediment de les unitats arqueològiques carbonatades fins 4 cm de grandària), 7.5YR4/6, massiu, dèbil, matèria orgànica molt escassa, bioturbació intensa amb canals reblerts , límit. inf. net.

X2-H4-- Franco llimós arenós, amb pedres comunes (frr. s/ang. i s/arr. heteromètrics, frr. s/arr. i arr. del sediment de les unitats arqueològiques carbonatades fins 4 cm de grandària, frr. ang. de calcària local amb grandària màxima de 8 cm), 7.5YR4/6, massiu, dèbil, bioturbació intensa amb canals reblerts, límit inf. clar.

X2-H5-- Lent còncava formada per carbons, microcarbons fortament fragmentats i frr. s/arr. de calcària local ennegrits per impacte tèrmic, solta, 7.5YR3/2, límit inf. net.

X2-H6C Caràcters com 4, límit inf. clar a la unitat 7 del conjunt DV.

Les unitats 1 i 2 són els horitzons A i AC del perfil de sòl que s'ha desenvolupat a la superfície superior del marge abans per l'activitat agrícola i ara per l'acumulació i la incorporació de matèria orgànica. La unitat 3 representa el rebliment de la part més externa del marge, relacionada amb el mur. Les unitats 4 i 6 formen el rebliment sencer del marge, que procedeix de l'erosió antròpica dels sediments tant antròpics (conjunt CA) com naturals (conjunt DV). La unitat 4 és un nivell d'incendi durant (o poc després) de la construcció del marge.

## 2 Conjunt DV

El conjunt DV aflora per sobre dels conjunts CA i AL, amb els quals té un límit erosiu; s'observa a la part superior del tall principal i a la secció X2, on s'han aixecat les següents unitats.

X2-H72A Franco llimós arenós amb pedres comunes (com X2-H6 + petits frr. de roques cristal·lines al·lòctones meteoritzades, molt escasses), 7.5YR4/4, estructura granular fina dèbilment desenvolupada, dèbil, matèria orgànica escassa, bioturbació intensa, límit inf. clar.

X2-H8 3Bt (2C) Franco llimós arenós amb pedres comunes (frr. ang. i s/ang. heteromètrics de calcària local, grandària màxima 10 cm, OP paral·lel al límit inferior o amb lleugera inclinació vers la paret), 5YR5/6, estructura polièdrica s/ang. fina molt dèbilment desenvolupada, fort, dèbil enriquiment de CaCO<sub>3</sub> a la matriu i nòduls poc impregnats de CaCO<sub>3</sub> comuns de 2-4 mm, límit inf.

X2-H9 3Btg Bretxa formada per pedres com a H8 (però amb OP només paral·lel al límit inferior) i amb frr. de roques cristal·lines al·lòctones meteoritzades, escasses (petits còdols o fragments de còdols), amb matriu franco llimosa arenosa, estructura com H8, 5YR4/6 que reomple tots els buits entre les pedres. Enriquiment de CaCO<sub>3</sub> com H8, nòduls molt petits (inframillimètrics) de Fe-Mn Ox escassos. Límit inferior de difícil definició, clar.

El límit entre H6 (conjunt RM) i H7 és erosiu; H7 representa un dèbil horitzó A que després s'ha format contextualment amb aquest límit i a partir d'una roca mare amb caràcters semblants als de H8. Les unitats H8 i H9 són dipòsits de vessant (peu de mont) que procedeixen de l'erosió de materials semblants, però que s'han sedimentat amb mecanismes diferents. Els materials d'aquestes unitats estan formats principalment per fragments caiguts de la paret, amb un petit percentatge de material al·lòcton, la procedència del qual és incerta, probablement una terrassa més antiga que es troava més amunt. La unitat H8 deriva d'una deposició per un moviment de massa, mentre que H9 representa una clapissa a la base de la paret. H9 es deposita per sobre d'un límit erosiu que talla el conjunt CA. Aquest límit no es reconeix pels processos edafogenètics que han modificat H8 i H9 després de la seva deposició. S'individualitzen dues fases d'edafogènesi: la primera, probablement molt antiga, està representada per la rubefacció del perfil amb formació d'un horitzó Bt; la segona, relacionada amb la superfície H6-H7, és poc desenvolupada, amb formació d'un horitzó A (H7) i enriquiment de carbonats (potser aquest últim procés és més antic que la formació de H7, aspecte que s'haurà de verificar).

### 3 Conjunt CA

El conjunt arqueològic s'organitza en varíes unitats que es poden agrupar en alguns subconjunts amb diferent origen.

#### 3a Sub-conjunt CA1

X4-H3 Bt Franc argilós amb pedres comuns (fragments pluricentimètrics de calcària amb diferents graus d'arrodoniment i en alguns casos amb pàtina de meteorització), color 5YR4/4, polièdric subangulós fi moderadament desenvolupat amb agregats molt adhesius, porositat escassa ( buits plans tancats i alguns canals prop de la secció), ferm, moderadament cimentat per carbonat de calci, límit inferior clar linear.

X4-H4 Btk Com X4-H3, però amb fragments de calcària subarrodonits freqüents i nòduls centimètrics de carbonat comuns, color 5YR4/6, límit inferior clar linear.

X4-H5 Btc Com X4-H3, però argilós franc i amb concentracions molt petites de Fe-Mn disperses en la matriu, límit inferior clar linear.

X4-H6 Btk2 Com X4-H5, però amb carbonatació moderada, color 5YR4/6, límit inferior clar ondulat

X4-H7 Btk3 Com X4-H5, però amb carbonatació forta (nòduls carbonàtics pluricentimètrics amb forma subesfèrica i botrioidal freqüents) i pedres calcàries decímetriques amb orientació subhorizontal, color 5YR4/6, límit inferior clar linear.

X4-H8 Btk4 Com X4-H6, límit inferior clar ondulat.

X4-H9 Btc2 Com X4-H5, però amb carbonatació discreta, color 5YR4/5, límit inferior net linear.

X4-H10 Bt2 Franc argilós, color 5YR4/5, polièdric subangulós fi feblement desenvolupat, porositat escassa, ferm, feblement cimentat per carbonat de calci, límit inferior no observat.

Aquest subconjunt està format per una potent seqüència d'origen edafogènica que ha provocat la formació d'un horitzó Bt que es pot subdividir en els horitzons anteriorment descrits. Les variacions observades es deuen a la variabilitat vertical dels processos edafogènics i a la presència de discontinuitats sedimentològiques a la successió. Aquestes discontinuitats es poden reconèixer per la presència de *stone lines* i nivells arqueològics. Concretament, el límit entre X4 H4 i H5 correspon al nivell arqueològic A, X4 H7 correspon al nivell arqueològic B mentre que el nivell arqueològic C es localitza al límit X4 H8 i H9.

Els dipòsits dels quals prové el sòl estan formats versemblantment per materials de vessant de tipus col·luvial i d'aportacions de la paret de l'abric.

El subconjunt CA1 testimonia una llarga i intensa fase d'estabilitat geomorfològica d'aquest indret, amb acció d'edafogènesi relacionada amb processos de rubefacció i translocació de carbonats, possiblement dins d'una situació ambiental de tipus mediterrani. Aquesta fase de formació de sòl tanca tota la successió de la Cansaladeta.

A la part sud de la secció X4 l'horitzó H14, amb intensa carbonatació, substitueix la seqüència H3-H10, que es troba a la part nord.

### 3b Sub-conjunt CA2

X5-H1BCk Franc llimós arenós amb escasses pedres de calcària petites (màxim 4 cm.) i anguloses, color 7.5YR6/5, massiu, ferm, discretament triat, discretament compactat, moderadament cimentat per carbonat de calci amb zones irregulars fortament cimentades, límit inferior net linear.

X5-H2-- *Stone line* discontinua formada per pedres calcàries anguloses petites i peces lítiques, horizontals.

X5-H3BCk2 Arena (fina i molt fina, poligènica, amb grànuls principalment angulosos) llimosa amb escasses pedres de calcària petites (màxim 4 cm.) i anguloses, color 6.5YR6/5, discretament triat, fortament compactat, carbonatació com X5-H1 i límit inferior net linear.

X5-H4-- *Stone line* poc continua formada per pedres calcàries anguloses fins a 10 cm. i peces lítiques horizontals.

Es tracta d'un subconjunt de transició entre la situació principalment al·luvial de CA3 i la de vessant de CA1. L'impacte dels processos edafogènics observats en CA1 és menys fort i es desenvolupa amb una carbonatació intensa que talla en discordància les interfaces sedimentològiques i arqueològiques.

### 3c Sub-conjunt CA3

X5-H5C1 Com X5-H3, però amb arena (fina i molt fina, poligènica, amb alguns elements subarrodònits) feblement llimosa, amb pedres escasses, laminacions obliques paral·leles, de baix angle, entrecreuades, amb presència de petits canals erosius que poden tallar la unitat subjacent, límit inferior net linear.

X5-H6-- Com X5-H4.

X5-H7C2 Com X5-H5 (inclosa la laminació), límit inferior net linear.

X5-H8-- *Stone line* continua, formada per arena molt grossa i grava fines i molt fines amb grànuls subangulosos i angulosos de calcària local; les pedres tabulars i les peces lítiques es troben en posició subhoritzontal.

El subconjunt està format per dipòsits versemblantment al·luvials de baixa energia procedents d'inundacions laterals del riu Francolí, amb interrupcions periòdiques de l'activitat deposicional. Representa la unitat d'origen al·luvial més alta de la successió, i està poc afectada per l'edafogènesi.

### 3d Sub-conjunt CA4

X5-H9C3 Franc llimós argilós, color 4YR4/5, polièdric angulós fi molt feblement desenvolupat, porositat escassa, poc ferm, amb intercalacions de làmines mil·limètriques de sorra fina i mitjana, paral·leles i inclinades d'angle baix, límit inferior clar linear.

Possible dipòsit d'origen col·luvial que retreballa el sòl subjacent de CA5.

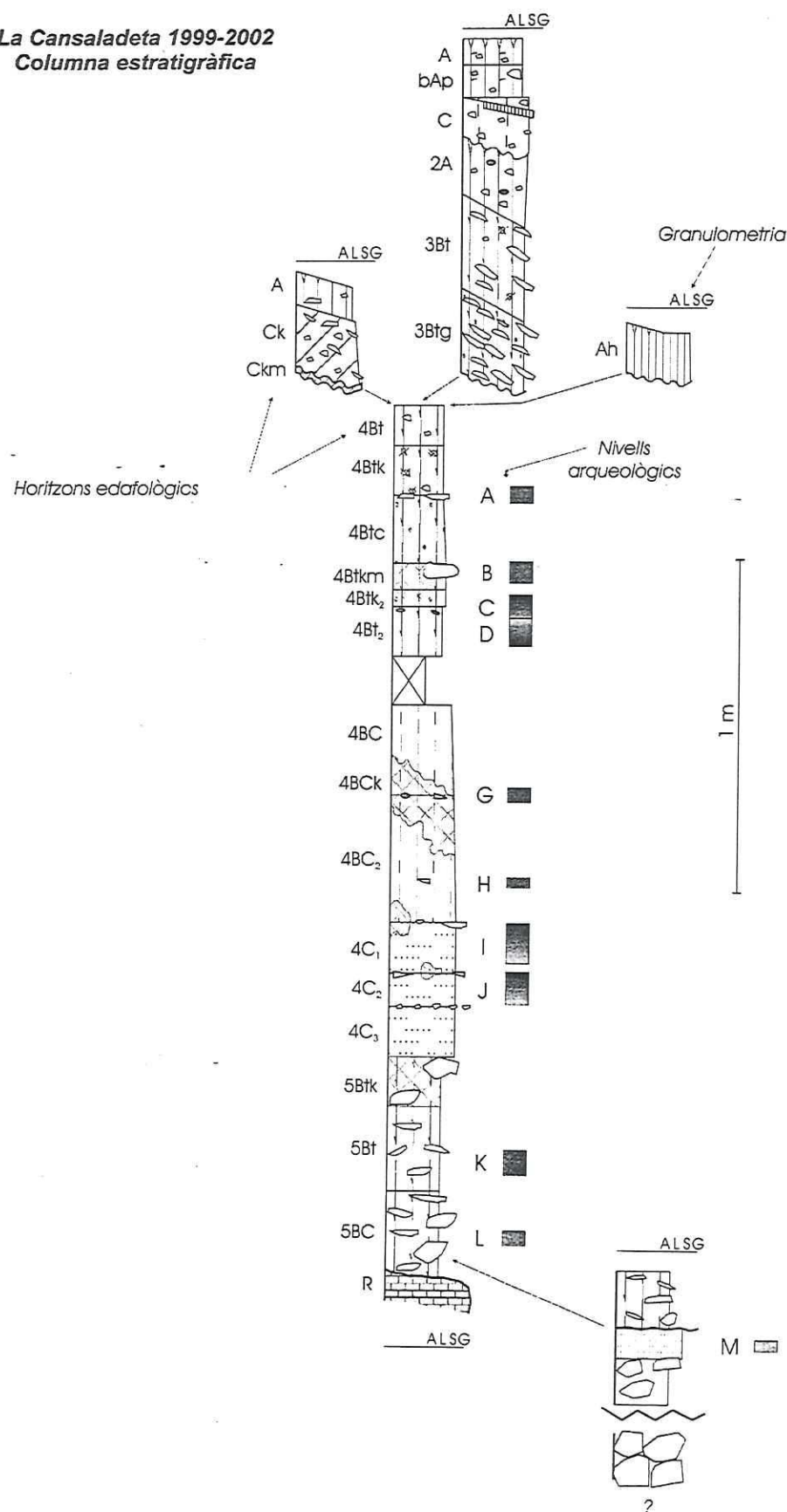
### *3e Sub-conjunt CA5*

X5-H10 2Bt Franc llimós argilós amb pedres calcàries escasses, heteromètriques (fins a 10 cm, mitjana entre 1-2 cm), anguloses, horitzontals les tabulars (hi ha gelifractes, els fragments més petits estan feblement meteoritzats i fragmentats), color 4YR4/5, polièdric angulós fi moderadament desenvolupat, porositat escassa, poc ferm, febles acumulacions petites de Fe-Mn, molt carbonatat i moderadament cimentat, límit inferior gradual.

X5-H11 2BC Franc llimós argilós amb pedres calcàries comuns, organitzades en faixes sub-horitzontals escassament visibles, anguloses i sub-anguloses (en hi ha també de sub-arrodonides), heteromètriques (fins a 35 cm - hi ha fragments tabulars - aparentment gelifractes, fragments caiguts de la paret amb pàtina endolítica i una fracció de mida mil·limètrica sub-arrodonida i sub-angulosa - prop del límit inferior s'observa una acumulació de fragments calcaris tabulars decimètrics); color 4YR4/5, polièdric angulós fi moderadament desenvolupat amb gradient cap a baix (al límit inferior és massiu), porositat escassa, ferm, molt carbonatat i moderadament cimentat, límit inferior abrupte amb calcària patinada (probablement el substrat).

Perfil de sòl enterrat del qual s'ha conservat l'horitzó Bt rubefactat i l'horitzó BC, que s'han desenvolupat a partir d'un material sedimentari diferent de la calcària del substrat. Els caràcters de camp del paleosòl indiquen que s'ha desenvolupat en una situació ambiental de tipus mediterrani. El material d'origen d'aquest sòl conté elements de bretxa crioclàstica procedents del sostre de l'abric, que indiquen l'existència d'un clima tendencialment fred i humit.

*La Cansaladeta 1999-2002*  
*Columna estratigràfica*



*Figura 2. Columna estratigràfica de la Cansaladeta*

## VII. CONCLUSIONS

---

La campanya de 2003 al jaciment de la Cansaladeta (La Riba, Alt Camp) ha permès incrementar el volum d'informació disponible respecte els nivells inferiors (J i K), als quadres K25 i K26.

En el nivell J, intervingut només a K25, s'ha continuat recuperant gran quantitat de material, essencialment lític, corresponent segurament a una zona de talla, a jutjar per la gran quantitat de BP i fragments de molt petites dimensions.

En l'àmbit sedimentològic i estratigràfic, s'ha confirmat que el nivell J està format per sorres fines d'aportació al·luvial. Entre el nivell J i el K es documenta un tram arqueològicament estèril, on les esmentades sorres es van mesclant amb una matriu cada cop més argilosa, d'aportació col·luvial. Un cop entrats al nivell K, aquesta darrera matriu és hegemònica, i apareixen fortes carbonatacions zonals, a mode de nòduls irregulars.

Pel que fa al material d'aquest nivell K, es confirmen els patrons observats en les campanyes anteriors: importants acumulacions de material lític i una presència comparativament major de fauna que a la resta de nivells, encara que molts d'aquests ossos presenten importants alteracions postdeposicionals.

La gran quantitat de material que s'ha coordinat i aixecat en els dos quadres intervinguts ha impedit assolir un dels objectius inicials que era el d'arribar a la base de la successió estratigràfica al sud-est del jaciment, tasca que es deixa per la propera campanya.

## ANNEX 1: INVENTARI GENERAL

Abreviatures:

NV= Nivell arqueològic

Qua= Quadre

Num= Número

Mater.= Material

Categ= Categoria

Zsup= Profunditat cara superior de l'element (solament si es tracta d'objectes amb gruix destacable)

Zinf= Profunditat cara inferior de l'element

Orien= Orientació de la resta arqueològica en relació amb el nord teòric de l'excavació

Pen= Pendent de la resta arqueològica respecte el nord teòric de l'excavació

Llar.=Llargària

Amp.=Amplada

Gr= Gruix

La numeració dels objectes és continuació de la de la campanya de l'any 2002

NV	QUA	NUM	MATER.	CATEG.	TAXÓ	X	Y	ZINF	ZSUP	ORIEN.	PEN.	LLAR	AMP	GR	OBSERVACIONS
J	K25	414	Sílex	Frag		87	82	-1241				6	5	1	
J	K25	415	Sílex	Frag		87	84	-1241				8	4	2	
J	K25	416	Sílex	BP		84	87	-1243				10	7	3	
J	K25	417	Sílex	BP		67	87	-1246		nwse	w	28	12	7	
J	K25	418	Dent	Molar	indet	65	85	-1248				16	12	9	
J	K25	419	Sílex	Frag		53	79	-1248		ns	p	15	6	4	
J	K25	420	Gres	Frag		54	67	-1247		nesw	ne	18	12	4	
J	K25	421	Sílex	Frag		30	70	-1247				4	3	1	
J	K25	422	Sílex	BP		21	64	-1247				8	7	2	
J	K25	423	Gres	Indet		17	77	-1247				10	5	2	Mesures aprox. No recuperat
J	K25	424	Sílex	BP		15	72	-1247				11	9	1	
J	K25	425	Sílex	Frag		25	90	-1247				10	8	5	
J	K25	426	Quars	Frag		6	70	-1247				3	2	1	
J	K25	427	Sílex	Frag		5	96	-1248		ns	p	11	3	3	
J	K25	428	Sílex	Frag		24	87	-1247				8	4	1	
J	K25	429	Sílex	Frag		14	88	-1245				5	2	1	
J	K25	430	Sílex	Frag		16	88	-1245				6	2	1	
J	K25	431	Sílex	Frag		18	89	-1245				3	1	1	
J	K25	432	Sílex	Frag		18	90	-1245				2	1	1	
J	K25	433	Sílex	Frag		18	87	-1245				3	1	1	
J	K25	434	Sílex	Frag		19	89	-1245				8	4	1	
J	K25	435	Sílex	Frag		19	90	-1245				3	1	1	
J	K25	436	Sílex	Frag		21	90	-1245				3	1	1	
J	K25	437	Sílex	Frag		20	91	-1245				5	3	1	
J	K25	438	Sílex	Frag		20	92	-1245				5	2	1	
J	K25	439	Sílex	Frag		21	94	-1247				2	1	1	
J	K25	440	Sílex	Frag		15	94	-1247				3	2	1	
J	K25	441	Sílex	BP		18	93	-1246				12	7	1	
J	K25	442	Sílex	Frag		18	92	-1246				3	3	1	
J	K25	443	Sílex	Frag		16	88	-1245				3	1	1	
J	K25	444	Sílex	Frag		16	89	-1245				3	1	1	
J	K25	445	Sílex	Frag		18	90	-1245				6	2	1	
J	K25	446	Sílex	BP		43	83	-1247				6	3	1	

NV	QUA	NUM	MATER.	CATEG.	TAXÓ	X	Y	ZINF	ZSUP	ORIEN.	PEN.	LLAR	AMP	GR	OBSERVACIONS
J	K25	447	Sílex	BP		28	91	-1248				6	4	2	
J	K25	448	Sílex	BP		20	87	-1248				5	3	1	
J	K25	449	Sílex	BP		22	87	-1247				8	6	2	
J	K25	450	Sílex	Frag		18	87	-1247				3	1	1	
J	K25	451	Sílex	Frag		17	87	-1247				8	3	2	
J	K25	452	Sílex	Frag		12	90	-1248				3	2	1	
J	K25	453	Sílex	Frag		14	90	-1248				3	3	1	
J	K25	454	Os	Indet	indet	14	81	-1248				8	4	1	
J	K25	455	Sílex	Frag		6	84	-1248				2	1	1	
J	K25	456	Sílex	BP		13	75	-1248				6	5	2	
J	K25	457	Sílex	BP		4	74	-1250		ew	p	14	10	4	
J	K25	458	Sílex	BP		8	78	-1249		ns	p	15	9	4	
J	K25	459	Sílex	Frag		14	67	-1248				7	6	3	
J	K25	460	Sílex	Frag		28	69	-1248				7	2	1	
J	K25	461	Sílex	Frag		37	70	-1247				7	3	2	
J	K25	462	Gres	Indet		47	70	-1246				34	20	8	Mesures aprox. No recollit
J	K25	463	Sílex	BP		90	99	-1237		ns	n	28	18	6	
J	K25	464	Sílex	Frag		86	91	-1244				6	5	3	
J	K25	465	Sílex	BP		85	88	-1243		nwse	nw	26	18	6	
J	K25	466	Sílex	Frag		83	82	-1244				15	11	4	
J	K25	467	Sílex	Frag		64	67	-1249		q	vv	22	13	5	
J	K25	468	Sílex	BP		61	69	-1248		nwse	p	13	10	3	
J	K25	469	Sílex	Frag		51	87	-1247		ns	p	12	4	2	
J	K25	470	Sílex	Frag		24	82	-1248				5	3	2	
J	K25	471	Sílex	Frag		37	72	-1247				5	2	1	
J	K25	472	Sílex	BP		43	71	-1247				3	2	1	
J	K25	473	Sílex	BP		55	78	-1249		nwse	n	28	26	6	
J	K25	474	Sílex	BP		54	81	-1249		nesw	ne	23	14	4	
J	K25	475	Sílex	BP		57	90	-1250		nesw	p	60	48	26	
J	K25	476	Sílex	Frag		82	92	-1245				9	6	2	
J	K25	477	Sílex	BP		94	97	-1241		nwse	nw	42	28	14	
J	K25	478	Os	Indet	indet	71	82	-1247				15	10	5	Mesures aprox.
J	K25	479	Os	Indet	indet	72	75	-1248		ns	p	21	7	6	
J	K25	480	Calcària	Bloc		62	82	-1250	-1247	nesw	sw	145	45	35	
J	K25	481	Sílex	BP		77	95	-1247				12	9	1	
J	K25	482	Sílex	BP		84	97	-1246				11	7	1	
J	K25	483	Sílex	BP		91	96	-1242		nwse	nw	39	30	7	
J	K25	484	Sílex	Frag		96	87	-1241				10	3	2	
J	K25	485	Sílex	Frag		5	64	-1249				10	5	2	
J	K25	486	Sílex	Frag		7	80	-1249				10	7	4	
J	K25	487	Sílex	Frag		8	91	-1249				4	3	1	
J	K25	488	Sílex	Frag		13	93	-1249				7	5	1	
J	K25	489	Sílex	Frag		18	97	-1248				9	7	3	
J	K25	490	Sílex	Frag		20	83	-1249				6	4	1	
J	K25	491	Sílex	Frag		34	74	-1249				6	4	1	
J	K25	492	Sílex	BP		37	70	-1248			vv	21	10	7	
J	K25	493	Sílex	BP		16	63	-1250		ew	p	42	21	17	
J	K25	494	Sílex	BP		62	80	-1250				6	5	2	
J	K25	495	Sílex	Frag		13	92	-1249				5	1	1	
J	K25	496	Os	Indet	indet	35	65	-1249		q	p	10	10	3	
J	K25	497	Gres	Indet		84	92	-1249		nesw	sw	15	10	4	Mesures aprox. No recollit

NV	QUA	NUM	MATER.	CATEG.	TAXÓ	X	Y	ZINF	ZSUP	ORIEN.	PEN.	LLAR	AMP	GR	OBSERVACIONS
J	K25	498	Sílex	Frag		76	92	-1250				14	6	2	
J	K25	499	Sílex	BP		61	91	-1248		nesw	w	32	18	7	
J	K25	500	Sílex	BP		58	85	-1251				19	7	4	
J	K25	501	Sílex	Frag		52	76	-1251				7	6	3	
J	K25	502	Sílex	Frag		47	77	-1249				5	5	1	
J	K25	503	Gres	Indet		43	71	-1249		ns	vh	18	15	6	Mesures aprox.
J	K25	504	Sílex	Frag		37	67	-1249				10	3	1	
J	K25	505	Sílex	BP		37	73	-1249				7	6	1	
J	K25	506	Gres	Indet		17	81	-1251				15	10	4	Mesures aprox. No recollit
J	K25	507	Sílex	BP		22	83	-1250		ns	vh	13	9	2	
J	K25	508	Sílex	BP		27	81	-1249				7	3	1	
J	K25	509	Sílex	Frag		33	83	-1250				4	1	1	
J	K25	510	Sílex	BP		47	91	-1249				12	9	1	
J	K25	511	Sílex	Frag		44	92	-1249		ew	p	27	16	7	
J	K25	512	Sílex	Frag	-	31	95	-1249				10	6	3	
J	K25	513	Sílex	Frag		23	96	-1250				8	8	2	-
J	K25	514	Sílex	BP		67	98	-1254				11	8	3	
J	K25	515	Sílex	BP		60	94	-1254				7	6	2	
J	K25	516	Sílex	BP		55	94	-1252				10	5	2	
J	K25	517	Sílex	BP		55	90	-1252		ew	p	17	12	3	
J	K25	518	Sílex	Frag		53	91	-1250		ns	s	14	9	9	
J	K25	519	Sílex	BP		53	83	-1252		nwse	nw	28	24	6	
J	K25	520	Sílex	Frag		43	81	-1251		nesw	sw	8	3	2	
J	K25	521	Sílex	BP		44	78	-1252		ew	e	12	9	2	
J	K25	522	Sílex	BP		51	68	-1252				8	7	2	
J	K25	523	Sílex	BP		38	66	-1251		nesw	sw	16	6	2	
J	K25	524	Os	Indet	indet	47	90	-1249		ns	p	24	5	3	
J	K25	525	Sílex	Frag		46	90	-1249				4	2	1	
J	K25	526	Os	Indet	indet	38	93	-1249		q	p	8	6	2	
J	K25	527	Sílex	BP		28	98	-1250		nwse	se	36	18	7	
J	K25	528	Sílex	Frag		2	95	-1250				5	3	1	
J	K25	529	Sílex	BP		4	92	-1251				9	5	2	
J	K25	530	Gres	Indet		14	87	-1251		q	p	23	21	4	
J	K25	531	Sílex	BP		16	83	-1251				9	6	1	
J	K25	532	Sílex	BP		20	80	-1250				6	3	1	
J	K25	533	Quarsita	Frag		21	73	-1250		q	p	7	6	1	
J	K25	534	Gres	Indet		27	81	-1250		ns	p	30	18	6	
J	K25	535	Sílex	Frag		32	79	-1250				3	3	1	No recuperada
J	K25	536	Sílex	BP		35	79	-1250		ns	n	42	39	14	
J	K25	537	Sílex	Frag		37	77	-1250				7	6	2	
J	K25	538	Sílex	BP		30	85	-1251				7	4	1	
J	K25	539	Os	Llarg	T.Mitjana	28	87	-1251				35	18	5	
J	K25	540	Sílex	BP		21	88	-1252		ew	nw	36	26	7	
J	K25	541	Sílex	BP		59	94	-1254				11	3	2	
J	K25	542	Sílex	Frag		57	91	-1254				8	5	2	
J	K25	543	Sílex	Frag		50	86	-1251				9	6	3	
J	K25	544	Sílex	Frag		43	91	-1251				5	3	1	
J	K25	545	Sílex	BP		44	85	-1251		nesw	n	36	23	9	
J	K25	546	Sílex	BP		40	82	-1251		nwse	p	11	4	1	
J	K25	547	Sílex	Frag		35	78	-1251				6	3	2	
J	K25	548	Sílex	Frag		34	77	-1251				5	2	1	

NV	QUA	NUM	MATER.	CATEG.	TAXÓ	X	Y	ZINF	ZSUP	ORIEN.	PEN.	LLAR	AMP	GR	OBSERVACIONES
J	K25	549	Sílex	Frag		35	73	-1252				6	5	1	
J	K25	550	Sílex	BP		30	76	-1251				10	6	2	
J	K25	551	Sílex	Frag		25	67	-1254				8	4	2	
J	K25	552	Sílex	Frag		16	63	-1252				5	4	2	
J	K25	553	Os	Indet	indet	23	75	-1252				10	4	1	
J	K25	554	Sílex	Frag		19	88	-1253				5	3	1	
J	K25	555	Gres	indet		15	93	-1253	q	w		55	50	20	
J	K25	556	Sílex	BP		8	94	-1252				13	11	2	
J	K25	557	Sílex	Frag		7	82	-1252				4	2	1	
J	K25	558	Sílex	Frag		13	78	-1253				3	3	1	
J	K25	559	Sílex	Frag		6	72	-1253				4	2	2	
J	K25	560	Sílex	BP		62	97	-1255	ew	n		30	22	11	
J	K25	561	Sílex	BP		54	92	-1252	ew	p		14	9	2	
J	K25	562	Sílex	Frag		43	87	-1251				10	5	2	
J	K25	563	Sílex	Frag		39	82	-1253	ew	p		11	4	3	
J	K25	564	Sílex	BP		38	77	-1254	nwse	p		17	11	4	-
J	K25	565	Sílex	Frag		30	80	-1254				11	6	2	
J	K25	566	Sílex	Frag		18	81	-1254				8	6	2	
J	K25	567	Sílex	Frag		15	91	-1254				10	6	5	
J	K25	568	Sílex	Frag		13	64	-1258				10	4	2	
J	K25	569	Sílex	BP		1	63	-1256	ns	vv		25	10	2	
J	K25	570	Sílex	Frag		3	78	-1258				7	2	2	
J	K25	571	Sílex	Frag		9	85	-1257				6	4	1	
J	K25	572	Os	Indet	indet	12	86	-1256				15	7	4	
J	K25	573	Sílex	Frag		15	86	-1256				10	3	1	
J	K25	574	Sílex	Frag		18	93	-1254				5	4	1	
J	K25	575	Sílex	BP		28	90	-1255				13	7	2	
J	K25	576	Sílex	BP		35	84	-1255	q	s		8	8	1	
J	K25	577	Sílex	BP		32	94	-1255	nesw	p		28	22	10	
J	K25	578	Sílex	BP		9	96	-1255				20	15	4	
J	K25	579	Sílex	Frag		14	65	-1257				11	7	3	
J	K25	580	Quars	Frag		12	84	-1258				5	4	1	
J	K25	581	Sílex	BP		8	91	-1258				11	7	2	
J	K25	582	Sílex	BP		9	90	-1258				11	6	2	
J	K25	583	Sílex	BP		9	93	-1258	ew	n		23	15	4	
J	K25	584	Sílex	Frag		15	88	-1255				4	2	1	
J	K25	585	Sílex	BP		25	87	-1257				31	18	5	
J	K25	586	Os	Indet	indet	30	80	-1256	ns	n		20	9	4	
J	K25	587	Os	Indet	indet	29	99	-1253	nesw	p		23	4	4	
J	K25	588	Os	Metàpod	Leporidae	32	93	-1256				15	5	2	
J	K25	589	Os	2 Falange	Leporidae	44	97	-1256				7	3	2	
J	K25	590	Sílex	Frag		8	92	-1259				13	11	3	
J	K25	591	Os	Indet	indet	15	90	-1259				22	16	11	
J	K25	592	Sílex	BP		21	85	-1259				7	5	1	
J	K25	593	Os	Indet	indet	24	90	-1257				18	6	2	
J	K25	594	Os	Indet	indet	36	99	-1257				22	12	4	
J	K25	595	Sílex	Frag		20	98	-1256				8	5	2	
J	K25	596	Sílex	BP		6	99	-1256				5	3	1	
J	K25	597	Os	Indet	indet	20	83	-1260	ns	s		20	10	4	
J	K25	598	Sílex	BP		25	88	-1260				10	10	2	
J	K25	599	Sílex	BP		17	99	-1257	nwse	p		21	7	4	

NV	QUA	NUM	MATER.	CATEG.	TAXÓ	X	Y	ZINF	ZSUP	ORIEN.	PEN.	LLAR	AMP	GR	OBSERVACIONS
J	K25	600	Sílex	Frag		12	91	-1260				7	5	1	
K	J25	1	Sílex	BP		42	97	-1270		ew	w	14	12	7	
K	K25	14	Os	Falange	Leporidae	96	30	-1259				9	3	3	
K	K25	15	Os	Indet	indet	97	32	-1259				6	2	2	
K	K25	16	Os	Indet	indet	94	32	-1258				9	5	2	
K	K25	17	Sílex	BP		96	35	-1258		ns	n	12	8	2	
K	K25	18	Os	Indet	indet	98	45	-1258				8	7	3	
K	K25	19	Sílex	Frag		95	51	-1256		ew	vh	20	5	4	
K	K25	20	Os	Mandíbula	Leporidae	83	46	-1259				8	3	2	Mesures aprox.
K	K25	21	Os	Metàpod	Leporidae	84	49	-1258				10	5	4	
K	K25	22	Os	Indet	indet	81	58	-1254				12	4	1	
K	K25	23	Os	Indet	indet	63	81	-1259				25	11	4	
K	K25	24	Sílex	BP		56	85	-1258		ns	nw	35	20	9	
K	K25	25	Sílex	Frag		85	99	-1254				18	10	4	
K	K25	26	Sílex	BP		93	96	-1254				11	5	2	
K	K25	27	Sílex	BP		79	81	-1257		ns	n	20	17	4	
K	K25	28	Sílex	Frag		99	69	-1255				7	5	2	
K	K25	29	Dent	Molar	Leporidae	84	61	-1257				3	2	1	
K	K25	30	Sílex	Frag		78	59	-1256				5	4	2	
K	K25	31	Os	Indet	indet	95	51	-1256				18	12	3	
K	K25	32	Calcària	Bloc		96	27	-1262	-1257	nwse	p	95	80	40	
K	K25	33	Sílex	Frag		91	23	-1261				7	4	4	
K	K25	34	Os	Indet	indet	37	44	-1264		ew	p	8	6	3	
K	K25	35	Sílex	Frag		59	54	-1260				7	4	3	
K	K25	36	Sílex	BP		47	57	-1261		nwse	nw	22	15	5	
K	K25	37	Sílex	BP		31	49	-1264				8	7	2	
K	K25	38	Sílex	BP		46	48	-1263		nesw	p	17	10	3	
K	K25	39	Os	1 Falange	Leporidae	58	41	-1263				15	4	4	
K	K25	40	Sílex	Frag		53	37	-1264		nesw	ne	25	10	9	
K	K25	41	Sílex	Frag		47	38	-1263				5	4	2	
K	K25	42	Sílex	BP		36	41	-1264				12	7	4	
K	K25	43	Os	Falange	Leporidae	31	35	-1265				5	4	4	
K	K25	44	Sílex	Frag		38	23	-1266				10	6	2	
K	K25	45	Os	Falange	Leporidae	44	24	-1266				8	3	2	
K	K25	46	Os	Indet	indet	48	25	-1266		nesw	ne	22	6	4	
K	K25	47	Dent	Molar	indet	89	56	-1260				7	6	3	
K	K25	48	Sílex	Frag		99	55	-1257				5	4	4	
K	K25	49	Os	Indet	indet	82	40	-1260				7	6	4	
K	K25	50	Sílex	BN2GC		78	38	-1261		ew	e	42	28	20	Denticulat
K	K25	51	Sílex	BP		100	36	-1263		q	e	23	22	9	
K	K25	52	Os	3 Falange	Leporidae	95	28	-1261				5	3	2	
K	K25	53	Os	Llarg	indet	99	21	-1263				16	8	5	
K	K25	54	Sílex	BP		95	13	-1263		nesw	ne	25	17	6	
K	K25	55	Sílex	BP		89	13	-1262		ns	s	20	16	5	
K	K25	56	Quars	Frag		77	14	-1262		q	s	15	13	10	
K	K25	57	Sílex	Frag		4	55	-1263				17	10	6	
K	K25	58	Os	Indet	indet	11	58	-1263				12	5	2	
K	K25	59	Sílex	BP		13	58	-1263		ns	p	17	15	2	
K	K25	60	Sílex	BP		17	55	-1264		ns	p	30	22	5	
K	K25	61	Sílex	Frag		25	73	-1262				5	3	1	
K	K25	62	Sílex	BP		22	70	-1261				6	3	1	

NV	QUA	NUM	MATER.	CATEG.	TAXÓ	X	Y	ZINF	ZSUP	ORIEN.	PEN.	LLAR	AMP	GR	OBSERVACIONS
K	K25	63	Os	Indet	indet	21	74	-1262		nesw	w	17	12	5	
K	K25	64	Os	Indet	indet	20	74	-1262				14	4	2	
K	K25	65	Sílex	BP		3	89	-1262				5	3	1	
K	K25	66	Os	Llarg	indet	88	60	-1259		nesw	ne	34	10	7	
K	K25	67	Os	Indet	indet	83	57	-1258		nesw	ne	20	6	4	
K	K25	68	Os	Llarg	Leporidae	77	39	-1263				10	4	4	
K	K25	69	Sílex	BP		74	38	-1262		nwse	vh	17	14	4	
K	K25	70	Sílex	BN2G		68	36	-1262		ew	w	50	28	20	Denticulat
K	K25	71	Os	Indet	indet	71	24	-1263				20	5	3	
K	K25	72	Sílex	BP		80	7	-1263		q	p	8	7	2	
K	K25	73	Os	Indet	indet	88	3	-1265				15	5	3	
K	K25	74	Sílex	BP		88	21	-1262		ew	w	36	18	12	
K	K25	75	Sílex	BP		100	31	-1264		ns	p	29	20	15	
K	K25	76	Os	2 Falange	Leporidae	68	6	-1266				7	3	2	
K	K25	77	Os	Metàpod	Leporidae	52	13	-1267				18	6	4	
K	K25	78	Sílex	Frag		56	19	-1266		nwse	w	56	36	20	
K	K25	79	Sílex	BP		54	27	-1266		nwse	vh	19	11	4	
K	K25	80	Sílex	BP		66	40	-1263		ew	se	18	10	3	
K	K25	81	Sílex	Frag		52	38	-1264				11	10	9	
K	K25	82	Sílex	BP		43	41	-1265		ns	p	10	5	2	
K	K25	83	Gres	Indet		30	37	-1266				20	8	5	
K	K25	84	Os	Llarg	Leporidae	25	31	-1268				12	4	3	
K	K25	85	Sílex	Frag		24	33	-1267		nesw	p	30	20	18	
K	K25	86	Sílex	BP		20	36	-1269		nesw	ne	30	20	6	
K	K25	87	Sílex	Frag		58	59	-1262				9	5	2	
K	K25	88	Sílex	Frag		48	63	-1261		q	n	23	22	13	
K	K25	89	Sílex	Frag		46	58	-1261		ew	w	14	8	6	
K	K25	90	Sílex	BP		39	58	-1261		nwse	se	28	15	11	
K	K25	91	Sílex	BP		32	65	-1262				7	4	1	
K	K25	92	Os	Crani	indet	22	56	-1264		ns	se	36	23	7	
K	K25	93	Sílex	BN1GE		22	52	-1266		nwse	se	59	40	23	
K	K25	94	Os	Indet	indet	7	42	-1267		ns	w	19	15	3	
K	K25	95	Sílex	Frag		7	94	-1259		ew	w	20	13	5	
K	K25	96	Sílex	BP		36	73	-1263				10	7	3	
K	K25	97	Sílex	BP		32	77	-1262		ns	n	33	16	9	
K	K25	98	Os	Indet	indet	29	78	-1263		ns	p	13	5	3	
K	K25	99	Sílex	BN1GE		22	76	-1265		q	s	53	48	27	
K	K25	100	Os	Indet	indet	19	79	-1263		ns	p	30	10	6	
K	K25	101	Sílex	BP		14	67	-1264				8	6	2	
K	K25	102	Sílex	BP		19	66	-1265				20	10	8	
K	K25	103	Os	Llarg	T.Mitjana	22	66	-1265		ns	n	100	35	25	Mesures aproximades.
K	K25	104	Sílex	BP		25	74	-1264		ns	s	25	15	8	
K	K25	105	Sílex	Frag		52	59	-1264		nesw	sw	32	18	8	
K	K25	106	Sílex	BP		60	54	-1263				12	6	1	
K	K25	107	Os	Escàpula	Leporidae	67	55	-1261				32	8	8	
K	K25	108	Os	Pelvis	T.Gran	65	51	-1263				74	45	22	
K	K25	109	Sílex	Frag		81	41	-1263		ew	e	40	32	15	
K	K25	110	Sílex	BP		96	27	-1265				9	5	2	
K	K25	111	Sílex	BN2GC		99	24	-1266		ns	w	40	32	11	Osca doble
K	K25	112	Os	1 Falange	Leporidae	96	16	-1265		nwse	nw	15	4	4	
K	K25	113	Sílex	Frag		58	31	-1265				6	5	1	

NV	QUA	NUM	MATER.	CATEG.	TAXÓ	X	Y	ZINF	ZSUP	ORIEN.	PEN.	LLAR	AMP	GR	OBSERVACIONES
K	K25	114	Sílex	BP		56	30	-1265				10	7	3	
K	K25	115	Sílex	Frag		40	44	-1267		ns	n	13	6	3	
K	K25	116	Sílex	Frag		31	46	-1267				11	6	4	
K	K25	117	Sílex	BP		25	50	-1268				8	5	2	
K	K25	118	Sílex	Frag		17	42	-1269		q	w	18	16	7	
K	K25	119	Os	Llarg	T.Gran	13	32	-1274	-1268	nesw	sw	130	40	22	
K	K25	120	Os	Húmer	T.Gran	20	33	-1272	-1269	nesw	sw	110	30	17	
K	K25	121	Quars	Frag		25	32	-1270		nwse	se	45	18	18	
K	K25	122	Sílex	BP		40	26	-1269				17	10	4	
K	K25	123	Sílex	Frag		38	24	-1269		nesw	sw	16	8	3	
K	K25	124	Sílex	Frag		25	19	-1272				7	6	3	
K	K25	125	Sílex	Frag		23	99	-1264				13	12	10	
K	K25	126	Os	Indet	indet	3	85	-1265		nesw	p	21	6	2	
K	K25	127	Sílex	BP		-1	69	-1266		ew	p	17	7	3	
K	K25	128	Sílex	BP		9	55	-1265				10	7	2	
K	K25	129	Sílex	Frag		11	53	-1264				16	9	5	
K	K25	130	Sílex	Frag		11	59	-1266				6	2	1	
K	K25	131	Sílex	BP		15	60	-1267				4	3	1	
K	K25	132	Sílex	Frag		12	62	-1266		ew	vh	26	20	9	
K	K25	133	Os	Indet	indet	12	68	-1267				20	6	3	
K	K25	134	Sílex	BP		22	62	-1267				6	2	1	
K	K25	135	Sílex	Frag		24	72	-1265				5	4	2	
K	K25	136	Sílex	BP		24	75	-1265				7	5	2	
K	K25	137	Sílex	Frag		24	76	-1265				8	3	1	
K	K25	138	Sílex	BP		23	78	-1264		ew	vh	30	19	5	
K	K25	139	Sílex	Frag		30	79	-1265		ew	vh	35	23	11	
K	K25	140	Sílex	BP		28	76	-1264		ns	vh	15	8	2	
K	K25	141	Sílex	Frag		30	76	-1265		ns	vh	25	18	15	
K	K25	142	Sílex	BP		32	73	-1265				18	13	3	
K	K25	143	Os	Indet	indet	33	75	-1264				10	6	1	
K	K25	144	Sílex	BP		32	78	-1266		ew	vv	29	14	6	
K	K25	145	Os	Indet	indet	37	78	-1263				9	3	1	
K	K25	146	Sílex	BP		41	78	-1264				7	4	1	
K	K25	147	Sílex	BP		44	76	-1264				11	7	2	
K	K25	148	Os	Llarg	indet	50	67	-1263		ew	p	205	32	25	
K	K25	149	Sílex	BP		45	64	-1265				21	12	9	
K	K25	150	Sílex	BP		38	63	-1265				6	4	2	
K	K25	151	Sílex	BP		35	65	-1266		ns	e	40	25	10	
K	K25	152	Sílex	Frag		27	58	-1266				11	9	4	
K	K25	153	Sílex	Frag		26	53	-1266				12	6	2	
K	K25	154	Sílex	BP		19	50	-1267				3	3	1	
K	K25	155	Os	Indet	indet	8	44	-1269		ew	p	35	16	8	
K	K25	156	Sílex	BP		65	44	-1262				10	9	2	
K	K25	157	Sílex	Frag		83	80	-1261				4	3	1	
K	K25	158	Sílex	BP		71	72	-1261				16	10	2	
K	K25	159	Os	Indet	indet	62	76	-1263				13	4	2	
K	K25	160	Os	Llarg	Leporidae	59	80	-1264				20	6	4	Manganès
K	K25	161	Sílex	BP		29	80	-1266				10	5	4	
K	K25	162	Sílex	BP		29	77	-1266		nesw	sw	22	12	5	
K	K25	163	Sílex	BP		3	59	-1267		ew	n	18	14	4	
K	K25	164	Sílex	Frag		1	58	-1266				5	4	2	

NV	QUA	NUM	MATER.	CATEG.	TAXÓ	X	Y	ZINF	ZSUP	ORIEN.	PEN.	LLAR	AMP	GR	OBSERVACIONS
K	K25	165	Os	Llarg	T.Petita	2	56	-1267		ew	w	15	12	3	
K	K25	166	Sílex	Frag		3	52	-1267				10	3	1	
K	K25	167	Sílex	BP		0	51	-1268		ew	vh	22	15	8	
K	K25	168	Os	Indet	indet	1	42	-1269				21	10	4	
K	K25	169	Sílex	BP		13	50	-1268		nesw	p	22	12	3	
K	K25	170	Sílex	BP		12	52	-1267		ns	p	29	15	7	
K	K25	171	Sílex	BP		12	56	-1268		ew	w	16	9	2	
K	K25	172	Sílex	BP		11	61	-1266				6	5	1	
K	K25	173	Sílex	Frag		38	22	-1269				10	8	5	
K	K25	174	Calcària	BN		50	40	-1268		q	nw	60	57	33	
K	K25	175	Sílex	BN2GC		51	44	-1269		ew	nw	33	23	9	Rascadora cc + denticulat
K	K25	176	Sílex	BP		56	40	-1268		nwse	nw	28	18	13	
K	K25	177	Sílex	BP		72	35	-1266		nesw	sw	38	23	12	
K	K25	178	Sílex	-	BP	73	23	-1267		ew	v	22	21	6	
K	K25	179	Sílex	BP		43	72	-1265				13	6	3	
K	K25	180	Sílex	BP		34	66	-1268		nwse	vh	10	8	3	
K	K25	181	Sílex	BP		36	62	-1268		nesw	vh	16	12	8	
K	K25	182	Sílex	Frag		40	58	-1269		nesw	s	35	27	15	
K	K25	183	Sílex	Frag		48	51	-1266				15	10	4	
K	K25	184	Sílex	BP		57	50	-1266		ew	se	15	10	2	
K	K25	185	Os	Indet	indet	64	52	-1265				13	5	3	
K	K25	186	Os	Indet	indet	84	59	-1262		nesw	ne	23	7	5	
K	K25	187	Sílex	Frag		92	57	-1262				5	4	1	
K	K25	188	Sílex	Frag		96	53	-1263				15	10	8	
K	K25	189	Sílex	BP		96	34	-1265		ns	vh	12	10	2	
K	K25	190	Sílex	Frag		95	31	-1266				5	3	1	
K	K25	191	Calcària	BP		55	50	-1268		ew	vh	55	35	5	Indústria dubtosa
K	K25	192	Sílex	BP		57	53	-1267				12	9	2	
K	K25	193	Calcària	Bloc		57	60	-1267	-1265	ew	e	78	60	30	
K	K25	194	Sílex	BP		51	61	-1267				12	8	2	
K	K25	195	Sílex	BP		46	60	-1267				13	7	2	
K	K25	196	Sílex	BP		47	52	-1268		ns	w	37	33	10	
K	K25	197	Sílex	BP		43	43	-1269				5	4	1	
K	K25	198	Calcària	Bloc		46	38	-1269	-1267	ew	p	70	50	15	
K	K25	199	Sílex	Frag		46	26	-1269				6	4	2	
K	K25	200	Sílex	BP		39	28	-1269				7	5	1	
K	K25	201	Sílex	BN1GE		35	17	-1275	-1268	ew	vv	71	65	50	
K	K25	202	Sílex	BP		25	15	-1273				5	2	1	
K	K25	203	Sílex	BP		20	14	-1274				7	5	1	
K	K25	204	Os	Indet	indet	17	11	-1275		ew	p	29	9	4	
K	K25	205	Os	Indet	indet	15	22	-1274				16	6	2	
K	K25	206	Calcària	Bloc		3	28	-1276	-1269	ns	s	95	90	26	
K	K25	207	Sílex	BP		14	34	-1272		ew	vh	52	35	20	
K	K25	208	Sílex	Frag		9	37	-1271				12	5	4	
K	K25	209	Sílex	BP		6	38	-1271				6	5	1	
K	K25	210	Os	Indet	indet	7	49	-1269		ns	p	23	10	6	
K	K25	211	Sílex	Frag		12	52	-1270				5	3	1	
K	K25	212	Sílex	Frag		21	52	-1270				15	11	3	
K	K25	213	Sílex	BP		27	46	-1271				6	3	1	
K	K25	214	Os	Indet	indet	24	36	-1271				10	4	2	
K	K25	215	Sílex	BP		11	56	-1268		ns	vv	33	24	15	

NV	QUA	NUM	MATER.	CATEG.	TAXÓ	X	Y	ZINF	ZSUP	ORIEN.	PEN	LLAR	AMP	GR	OBSERVACIONS
K	K25	216	Sílex	BP		8	54	-1269				8	5	1	
K	K25	217	Os	Indet	indet	4	56	-1269				13	10	3	
K	K25	218	Sílex	BP		6	58	-1269				12	8	2	
K	K25	219	Calcària	Bloc		11	63	-1269	-1267	nwse	p	78	50	20	
K	K25	220	Sílex	BP		22	62	-1269				10	6	2	
K	K25	221	Sílex	Frag		21	65	-1268				22	10	6	
K	K25	222	Sílex	BP		6	84	-1268		ew	s	42	32	15	
K	K25	223	Sílex	Frag		19	87	-1267				10	7	6	
K	K25	224	Sílex	BP		25	91	-1267			vv	12	5	2	
K	K25	225	Quars	BP		33	74	-1269		q	s	32	31	18	
K	K25	226	Sílex	BP		32	70	-1269		nwse	vv	28	25	9	
K	K25	227	Sílex	BP		36	72	-1269		ew	p	23	12	4	
K	K25	228	Sílex	BP		37	76	-1267				12	5	3	
K	K25	229	Sílex	BP		39	77	-1267				6	6	2	
K	K25	230	Sílex	BP		50	72	-1267				10	8	4	
K	K25	231	Sílex	Frag		68	65	-1264		q	w	50	38	27	
K	K25	232	Sílex	Frag		71	49	-1265		ns	vh	16	10	3	
K	K25	233	Sílex	Frag		78	45	-1265				11	—	4	1
K	K25	234	Quars	Frag		75	37	-1266				6	5	2	
K	K25	235	Os	Llarg	Leporidae	80	66	-1261				21	5	2	
K	K25	236	Sílex	Frag		85	51	-1264				10	6	2	
K	K25	237	Sílex	Frag		82	38	-1268		nwse	sw	57	14	12	Remonta amb núm. 305
K	K25	238	Os	Costella	T.Mitjana	83	34	-1268		ns	vv	33	14	8	
K	K25	239	Os	Indet	indet	82	32	-1265				14	10	4	
K	K25	240	Gres	Indet		96	69	-1258				8	7	3	No recollit
K	K25	241	Sílex	Frag		93	52	-1264		ew	e	17	8	5	
K	K25	242	Sílex	Frag		93	42	-1266				12	4	3	
K	K25	243	Sílex	Frag		99	37	-1266				6	3	2	
K	K25	244	Sílex	Frag		99	20	-1266		ew	p	72	40	25	
K	K25	245	Calcària	Bloc		62	29	-1267	-1259	ew	nw	140	70	45	
K	K25	246	Calcària	Bloc		86	43	-1265	-1262	ew	w	75	60	10	
K	K25	247	Os	Llarg	T.Petita	32	98	-1264		nesw	sw	35	14	7	
K	K25	248	Os	Indet	indet	29	89	-1267				17	12	10	
K	K25	249	Sílex	BP		38	86	-1268		nesw	sw	22	15	10	
K	K25	250	Sílex	BP		37	84	-1268		nesw	ne	24	15	4	
K	K25	251	Sílex	BP		39	74	-1268				10	5	2	
K	K25	252	Sílex	Frag		36	66	-1268		ns	vv	20	12	7	
K	K25	253	Sílex	BP		42	56	-1269				11	6	2	
K	K25	254	Sílex	Frag		54	55	-1268				12	5	2	
K	K25	255	Sílex	BP		54	41	-1270				7	6	2	
K	K25	256	Sílex	Frag		38	45	-1271				5	4	2	
K	K25	257	Sílex	Frag		27	68	-1267				5	4	1	
K	K25	258	Dent	Molar	indet	27	72	-1267				13	12	6	
K	K25	259	Sílex	BP		26	77	-1268				14	7	4	
K	K25	260	Calcària	Bloc		21	74	-1267	-1264	q	p	80	78	26	
K	K25	261	Os	Indet	indet	14	70	-1268				10	9	5	
K	K25	262	Os	Llarg	T.Mitjana	21	60	-1269		nwse	se	75	20	10	
K	K25	263	Sílex	BP		10	48	-1270				5	3	1	
K	K25	264	Sílex	Frag		7	53	-1269				5	4	2	
K	K25	265	Os	Indet	indet	7	56	-1269				13	5	2	
K	K25	266	Sílex	Frag		4	48	-1269				5	3	1	

NV	QUA	NUM	MATER.	CATEG.	TAXÓ	X	Y	ZINF	ZSUP	ORIEN.	PEN.	LLAR	AMP	GR	OBSERVACIONS
K	K25	267	Os	Indet	indet	2	55	-1270				17	13	6	
K	K25	268	Sílex	Frag		1	67	-1268		ns	p	8	4	2	
K	K25	269	Sílex	BP		28	75	-1272				6	3	1	
K	K25	270	Os	Indet	indet	36	10	-1274		ns	n	29	12	5	
K	K25	271	Os	Pla	T.Mitjana	38	12	-1275		ew	sw	75	28	13	
K	K25	272	Os	Indet	indet	63	72	-1263				11	3	2	
K	K25	273	Sílex	BP		70	71	-1263				11	4	2	
K	K25	274	Sílex	BP		67	57	-1266		nwse	se	25	10	5	
K	K25	275	Sílex	BP		73	38	-1267		q	p	11	10	3	
K	K25	276	Os	Llarg	T.Mitjana	68	27	-1266		nesw	sw	50	18	10	
K	K25	277	Quars	BN		74	27	-1267		q	se	17	16	10	
K	K25	278	Sílex	BP		76	22	-1267				13	7	2	
K	K25	279	Os	Llarg	Leporidae	83	30	-1266				11	5	5	
K	K25	280	Os	Indet	indet	85	32	-1266				28	7	3	
K	K25	281	Sílex	BP		99	23	-1266				6	5	1	
K	K25	282	Sílex	BP		94	19	-1268		nwse	p	12	5	3	
K	K25	283	Sílex	BP		85	6	-1267		ns	n	16	12	3	
K	K25	284	Calcària	Bloc		68	21	-1268	-1259	nwse	w	110	85	55	
K	K25	285	Os	Indet	indet	19	72	-1270				16	10	3	
K	K25	286	Sílex	Frag		40	60	-1269		nesw	p	15	6	5	
K	K25	287	Os	Indet	indet	72	15	-1267				19	16	4	
K	K25	288	Calcària	BN		73	58	-1268		nesw	ne	45	18	14	
K	K25	289	Os	Indet	indet	72	67	-1266				21	4	2	
K	K25	290	Os	Llarg	T.Mitjana	73	83	-1267		nesw	ne	40	19	10	
K	K25	291	Sílex	BP		66	85	-1267				11	5	2	
K	K25	292	Sílex	BP		55	80	-1269		nesw	ne	36	30	14	
K	K25	293	Sílex	BP		53	89	-1268				14	12	2	
K	K25	294	Os	Indet	indet	51	91	-1268				16	6	2	
K	K25	295	Calcària	Bloc		83	49	-1266	-1261	ns	s	90	67	45	
K	K25	296	Calcària	Bloc		81	55	-1264	-1261	ns	n	105	45	25	
K	K25	297	Calcària	Bloc		78	68	-1263	-1260	nwse	p	85	70	25	
K	K25	298	Calcària	Bloc		94	8	-1267	-1262	nesw	sw	110	75	45	
K	K25	299	Calcària	Bloc		84	15	-1269	-1264	ew	nw	140	55	50	
K	K25	300	Os	Indet	indet	83	16	-1268				25	7	3	
K	K25	301	Quarsita	BP		85	17	-1268				20	10	3	
K	K25	302	Sílex	BP		87	15	-1269				9	8	2	
K	K25	303	Os	2 Falange	Leporidae	88	14	-1269				8	2	2	
K	K25	304	Gres	BN		86	25	-1273	-1261	ns	nw	160	120	90	
K	K25	305	Sílex	BP		91	10	-1267		nwse	nw	46	12	10	Remonta amb núm. 237
K	K25	306	Sílex	BP		63	98	-1266				7	5	3	
K	K25	307	Sílex	Frag		65	94	-1265		nesw	ne	25	17	7	
K	K25	308	Sílex	Frag		67	79	-1267				8	7	2	
K	K25	309	Sílex	Frag		73	74	-1267				11	4	1	
K	K25	310	Os	Indet	indet	77	66	-1263		nwse	p	29	8	4	
K	K25	311	Sílex	BP		84	56	-1267		nwse	vh	38	25	6	
K	K25	312	Sílex	Frag		81	55	-1267		nwse	p	22	12	9	
K	K25	313	Sílex	Frag		70	54	-1267				16	8	6	
K	K25	314	Calcària	Bloc		67	51	-1268	-1266	nwse	s	75	45	22	
K	K25	315	Sílex	FBN1G		66	94	-1268		q	nw	45	40	20	
K	K25	316	Os	Llarg	T.Gran	80	68	-1265		nwse	se	100	25	18	Mesures aprox. En concreció
K	K25	317	Os	Llarg	indet	76	74	-1267				25	20	10	Mesures aprox. En concreció

NV	QUA	NUM	MATER.	CATEG.	TAXÓ	X	Y	ZINF	ZSUP	ORIEN.	PEN.	LLAR	AMP	GR	OBSERVACIONS
K	K26	161	Os	Llarg	indet	10	12	-1267		nesw	sw	32	11	4	
K	K26	162	Os	Llarg	T.Petita	18	18	-1265				19	4	4	
K	K26	163	Sílex	BP		39	15	-1265				8	5	2	
K	K26	164	Sílex	BP		44	15	-1266				11	9	3	
K	K26	165	Sílex	BN1GE		46	3	-1269	-1265	q	vv	50	44	42	
K	K26	166	Sílex	BP		66	18	-1264				22	13	4	
K	K26	167	Sílex	BP		81	13	-1263				9	4	1	
K	K26	168	Sílex	BP		14	48	-1266				16	9	4	
K	K26	169	Sílex	BP		40	46	-1263				9	9	1	
K	K26	170	Os	Metàpod	Leporidae	75	35	-1261				12	3	2	
K	K26	171	Sílex	BP		10	53	-1266				7	4	1	
K	K26	172	Sílex	BP		23	21	-1267		ns	e	15	10	5	
K	K26	173	Sílex	Frag		24	22	-1268		nwse	ne	27	16	11	
K	K26	174	Sílex	BP		38	40	-1263				17	7	4	
K	K26	175	Sílex	Frag		10	3	-1269				8	4	2	

## ANNEX II. ESTUDI DELS MATERIALS

### 1. ESTUDI DE LA INDÚSTRIA LÍTICA

Durant l'excavació arqueològica efectuada el maig de 2003 s'han recuperat 387 artefactes lítics (76,3% de tots els elements inventariats). La indústria lítica correspon a dos nivells arqueològics: J i K.

Al nivell J es van trobar 168 artefactes, tots procedents del quadre K25. La matèria primera predominant és el sílex amb 156 efectius (92,9%), però també estan representades el gres, el quars i la quarsita (taula 1). Totes lès matèries primeres es poden aconseguir amb relativa facilitat a l'entorn del jaciment. Les terrasses del riu Francolí podrien haver proporcionat la majoria de les roques utilitzades a la Cansaladeta. El sílex també es pot trobar a les formacions del *Muschelkalk* o a formacions eocenes, mentre que les roques metamòrfiques i el quars es poden obtenir a les formacions del *Bundsanstein*.

La majoria dels objectes són fragments i Bases Positives (ascles). També hem trobat 8 objectes de gres mal conservats, i, per tant, no podem determinar la categoria estructural.

NIVELL J				
	BP	FRAG	indet.	TOTAL
Sílex	68 43,6%	88 56,4%		156 92,9%
Gres		1 11,1%	8 88,9%	9 5,4%
Quars		2 100,0%		2 1,2%
Quarsita		1 100,0%		1 0,6%
Total	68 40,5%	92 54,8%	8 4,8%	168

Taula 1: Indústria lítica del nivell J de La Cansaladeta (excavació 2003), en funció de la matèria primera i la categoria estructural

L'excavació del nivell K ha proporcionat 219 artefactes, procedents dels quadres J25, K26 i especialment K25. El 94,5% dels objectes van ser tallats en sílex (taula 2). També hem documentat la talla de quars, gres, calcària i quarsita. L'anàlisi per categories estructurals indica un predomini de les Bases Positives

(57,1%). També es significatiu en percentatge de fragments (36,5%). La resta de categories tenen una representació molt escassa. No obstant, cal destacar l'existència de 4 BN1GE (nuclis) de sílex y 4 BN2GC (ascles retocades) també de sílex. Entre els objectes retocats hi ha 3 denticulats (un dels quals associat a una rascadora) i una osca.

NIVELL K							
	Bn	BN1GE	BP	BN2GC	FRAG	INDET	TOTAL
Sílex		1,9 4 %	12 2 59,2%	1,9 4 %	36,9 77 %		20 7 94,5 %
Quars	1	20,0 %		1 20,0%		60,0 3 %	5 2,3%
Gres	1	33,3 %				66,7 2 %	3 1,4%
Calcàri a	2	66,7 %		1 33,3%			3 1,4%
Quarsita				100,0 1 %			1 0,5%
Total	4	1,8% 4 %	1,8 5 57,1%	1,8 4 %	36,5 80 %	0,9% 2	21 9

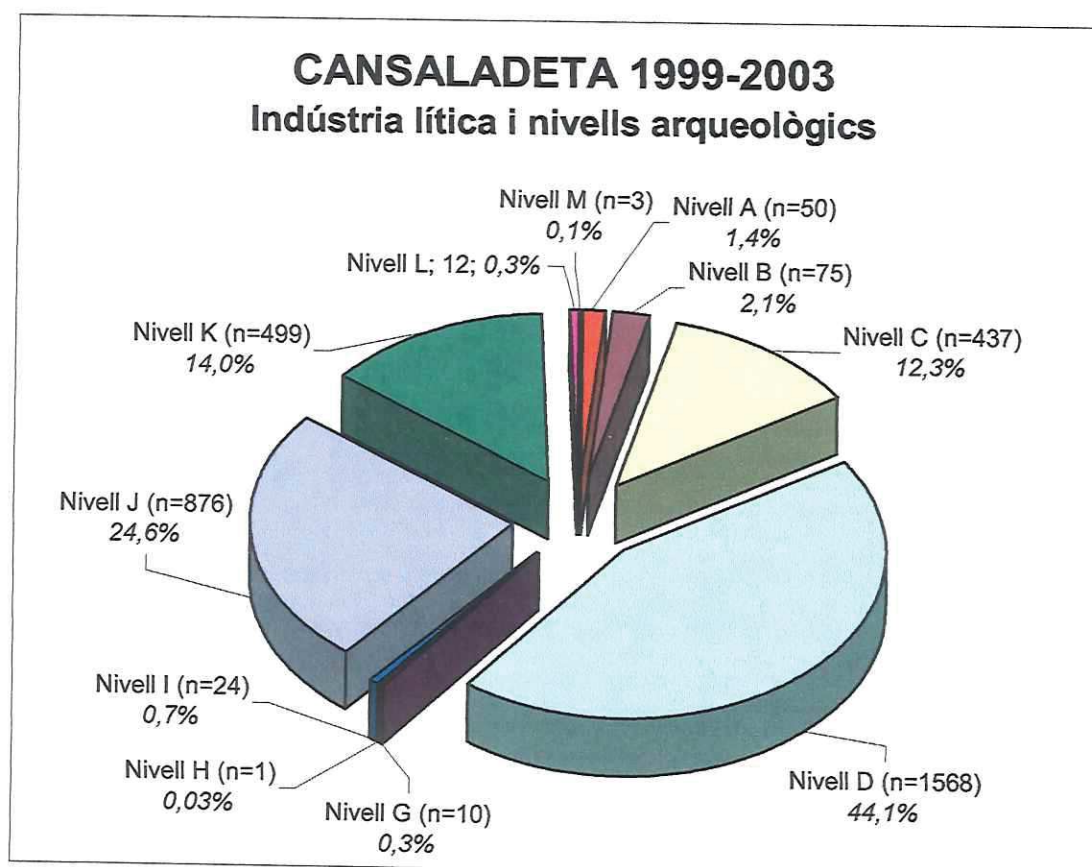
Taula 2: Indústria lítica del nivell K de La Cansaladeta (excavació 2003), en funció de la matèria primera i la categoria estructural

En general es tracta d'una indústria lítica de petit format. Al nivell J solament 23 Bases Positives superen els 20mm de longitud màxima (33,8%). Si tenim en compte també els Fragments, 25 artefactes superen els 20mm (15,6%).

En el nivell K únicament 41 BP superen els 20 mm (32,8%). En el conjunt dels fragments i les BP solament 62 objectes tenen més de 20 mm (30,2%). Als dos nivells s'ha trobat un gran nombre de BP de format molt petit (restes de talla). De fet al nivell K 76 BP i fragments tenen una longitud igual o inferior als 10 mm (34,8%). Al nivell J hi ha 102 BP i Fragments que compleixen aquesta condició (60,7%).

Després de tres campanyes d'excavació l'abric de la Cansaladeta ha proporcionat un total de 3555 artefactes lítics (387 a la campanya del 2003, 1203 a la campanya del 2002 i 1965 a la del 1999). Aquest material està repartit en 11 nivells arqueològics. Fins al moment, el nivell on s'han trobat més restes és el D (amb 1568 peces), seguit pel J (876), el K (499), i el C (437) (gràfica 7). Els nivells

amb menys efectius són el H (1 peça) i el M (3 peces). Donada l'escassa superfície excavada (desigual segons el nivell arqueològic), es tracta d'una quantitat molt significativa, que sens dubte s'incrementarà notablement quan s'excavi tota l'extensió de l'abric.



*Figura 3. Gràfica amb el total d'efectius per nivells d'indústria lítica de les campanyes de 1999, 2002 i 2003.*

## 2. ESTUDI DE LES RESTES FAUNÍSTIQUES

La campanya d'excavació de 2003 ha proporcionat un total de 104 restes faunístiques, de les quals 100 són ossos i quatre són fragments de dents. Degut al seu precari estat de conservació l'estudi d'aquests materials s'ha vist molt limitat. La superfície òssia està molt alterada a causa d'accions postdeposicionals, de manera que en molts casos les restes han perdut qualsevol característica que permeti la seva identificació tant a nivell esquelètic com taxonòmic. L'únic taxó que s'ha pogut identificar ha estat *Leporidae* al qual pertanyen un 20,19% (N=21) de les restes recuperades. La resta d'elements faunístics s'ha classificat de la següent manera tal i com es pot veure en la gràfica: el 66,34% (N=69) dels mateixos no ha pogut inscriure's en cap categoria ni a nivell esquelètic ni de taxó. Per aquest motiu s'han classificat com a indeterminats. La següent categoria pel que fa a número d'efectius correspon a la Talla Mitjana amb 7 (6,73%). Finalment, s'han recuperat 4 (3,84%) restes pertanyents a animals de Talla Gran i 3 (2,88%) ossos de Talla Petita.

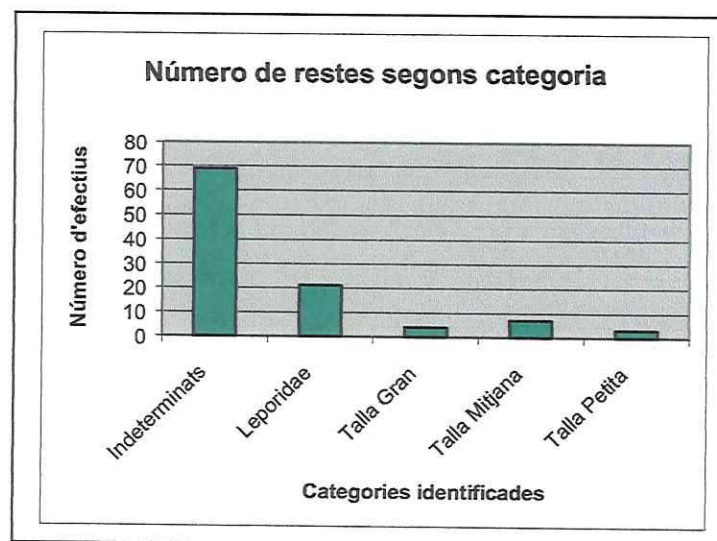


Figura 4. Distribució de les restes faunístiques per categories d'identificació

És interessant indicar que la divisió per talles s'ha fet tenint en compte els animals que s'han pogut identificar a partir de les restes faunístiques d'altres campanyes d'excavació d'aquest mateix jaciment. Per aquest motiu, els animals que estarien inclosos en la Talla Petita serien principalment lepòrids i càprids infantils. Mentre que càprids adults i cèrvids infantils es podrien considerar de

Talla Mitjana. Finalment, els cèrvids adults serien animals de Talla Gran. També inclouríem en aquesta categoria restes de *Rhinocerotidae* recuperades en campanyes anteriors.

### ANNEX III. FOTOGRAFIES DELS MATERIALS MÉS SIGNIFICATIUS

#### INDÚSTRIA LÍTICA

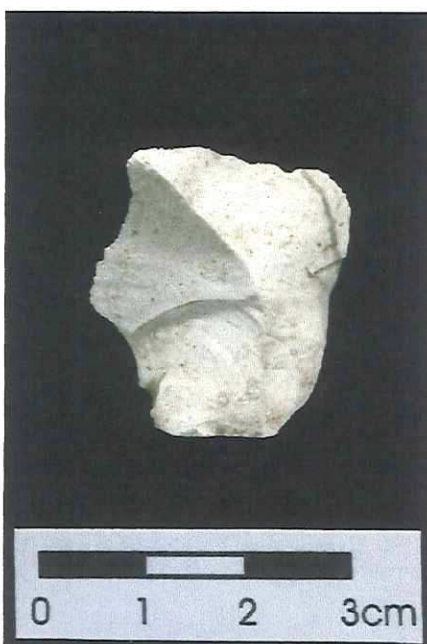


Figura 5. Base Positiva de sílex,  
Nivell J, quadre K25, núm. 473



Figura 6. Base Positiva de sílex,  
Nivell J, quadre K25, núm. 475



Figura 7. Fragment de Base Negativa  
de 1<sup>a</sup> Generació d'Explotació (nucli) de  
sílex, Nivell K, quadre K25, núm. 315



Figura 8. Base Positiva de sílex, Nivell  
K, quadre K25, núm. 151

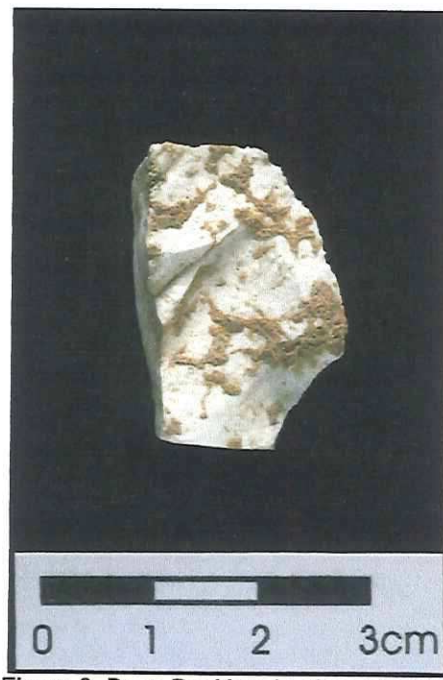


Figura 9. Base Positiva de sílex, nivell K,  
quadre K25, núm. 80



Figura 10. Base Positiva de sílex, nivell  
K, quadre K25, núm. 27

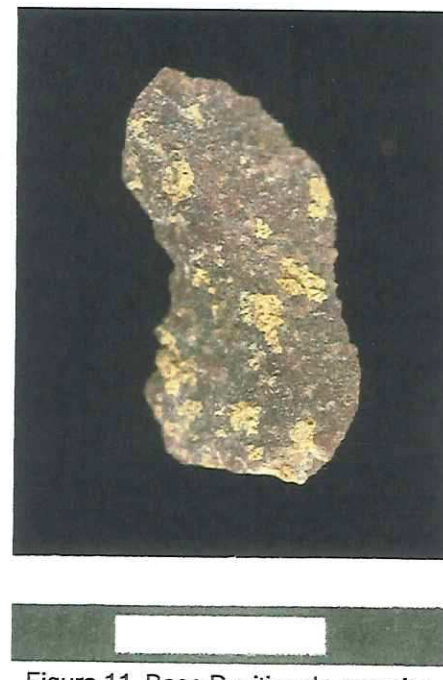


Figura 11. Base Positiva de quarsita,  
nivell K, quadre K25, núm. 301



Figura 12. Fragment de quars, Nivell K,  
quadre K25, núm. 121

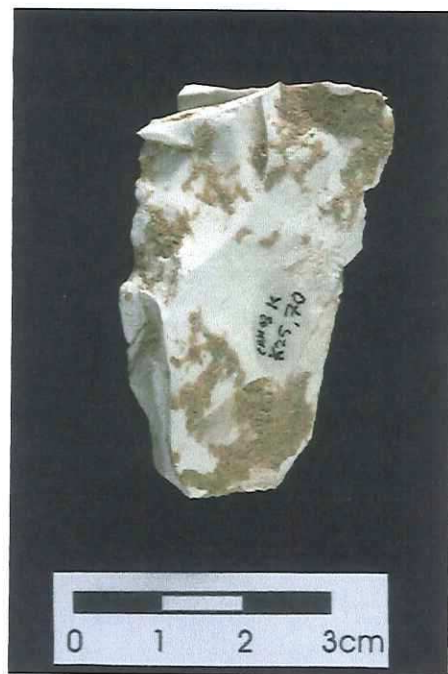


Figura 13. Base Negativa de 2<sup>a</sup> Generació de Configuració, tallada en sílex. Nivell K, quadre K25, núm. 70



Figura 14. Base Negativa de 2<sup>a</sup> Generació de Configuració, tallada en sílex, Nivell K, quadre K25, núm. 111

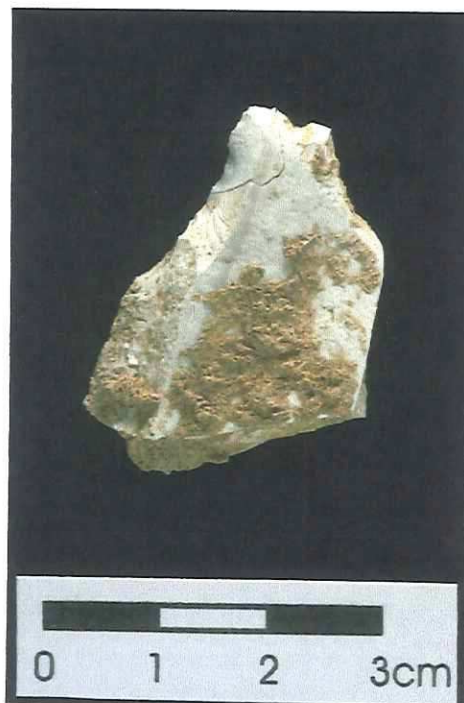


Figura 15. Base Negativa de 2<sup>a</sup> Generació de Configuració, tallada en sílex, Nivell K, quadre K25, núm. 175

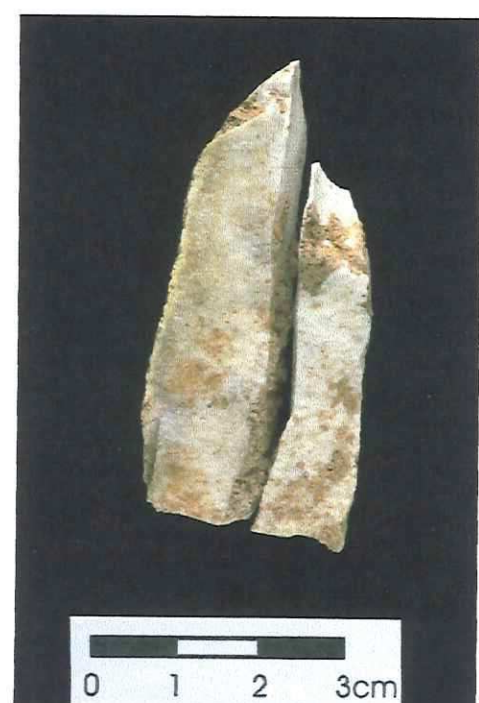


Figura 16. Remuntatge entre dues peces de sílex. Nivell K, quadre K25, núms. 237 i 305

## FAUNA



Figura 17. Fragment d'os llarg totalment alterat, recobert de concreció calcària i amb reblert de sediment carbonatat. Nivell K, quadre K25, núm. 148



Figura 18. Detall de l'os de la imatge anterior, en la zona menys alterada.



Figura 19. Fragment d'os llarg d'un animal de talla gran, cobert de concreció. Nivell K, quadre K25, núm. 119



Figura 20. Fragment d'os llarg alterat i fracturat. Nivell K, quadre K25, núm. 103

## ANNEX IV. PLANIMETRIA I DESCRIPCIÓ DE LES SECCIONS

---

A la figura 21 presentem la planimetria del jaciment, amb cotes de profunditat (en metres), en relació amb el nivell 0 de l'excavació. Aquest nivell 0 és el mateix de l'excavació del 1999. En aquesta planta es situen les zones excavades i els nivells arqueològics corresponents.

A la Figura 22 presentem una secció transversal de l'estret de la Riba, a la zona on es troba el jaciment de La Cansaladeta. En aquesta secció se situa el jaciment en relació al curs del riu Francolí. També s'indica que el nivell 0 de l'excavació està situat a 252,2 metres s.n.m.

La figura 23 és una secció transversal de la zona excavada durant la campanya de 2002. Aquesta secció afecta als quadres de la línia 25. En aquesta figura es poden observar els diferents nivells arqueològics sobre el quals s'ha intervenit.

## La Cansaladeta

N.

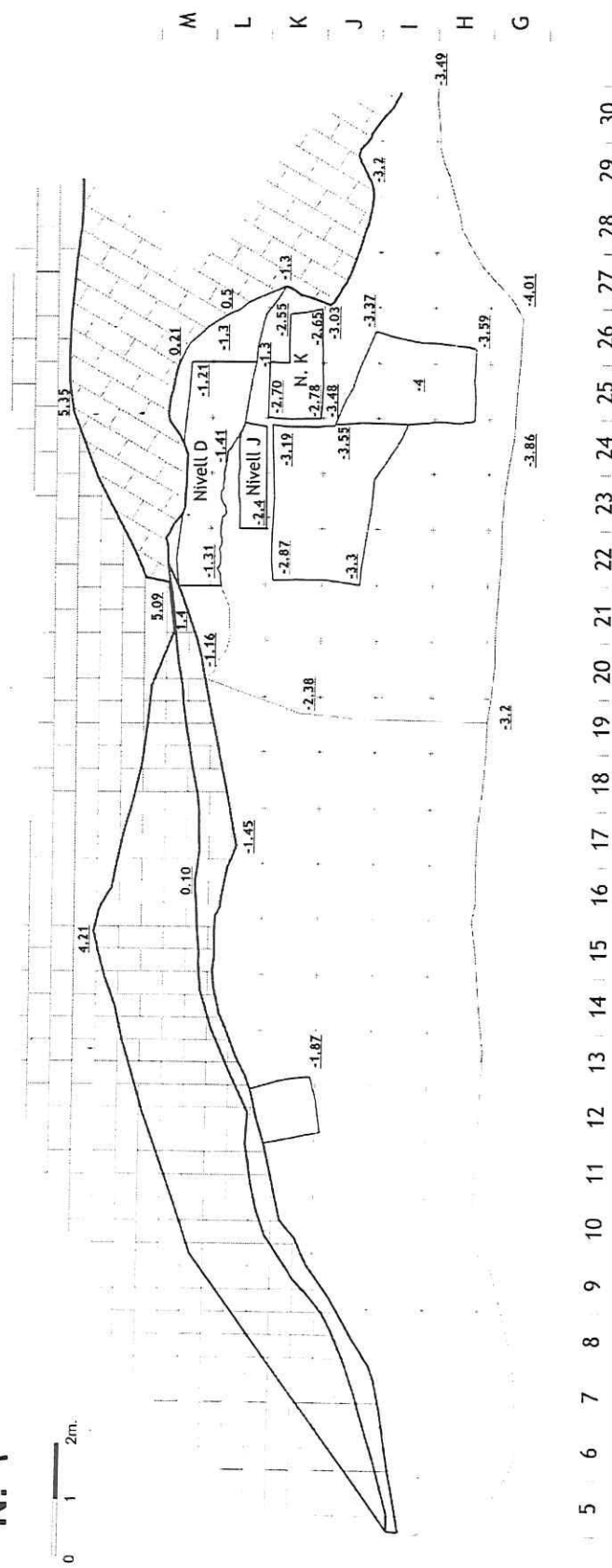


Figura 21. Planta del jaciment de La Cansaladeta, amb cotes referides al nivell 0 de l'excavació

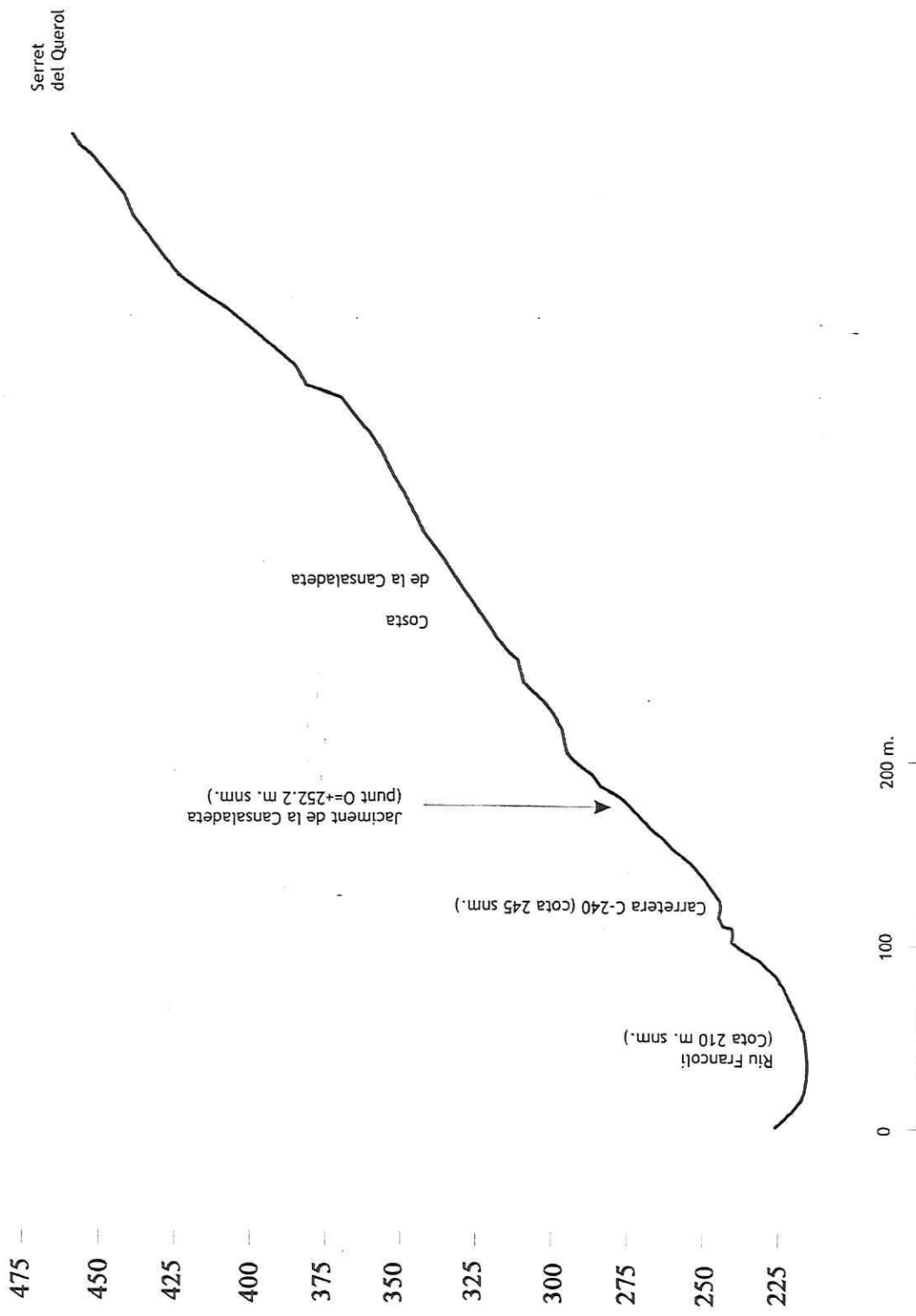
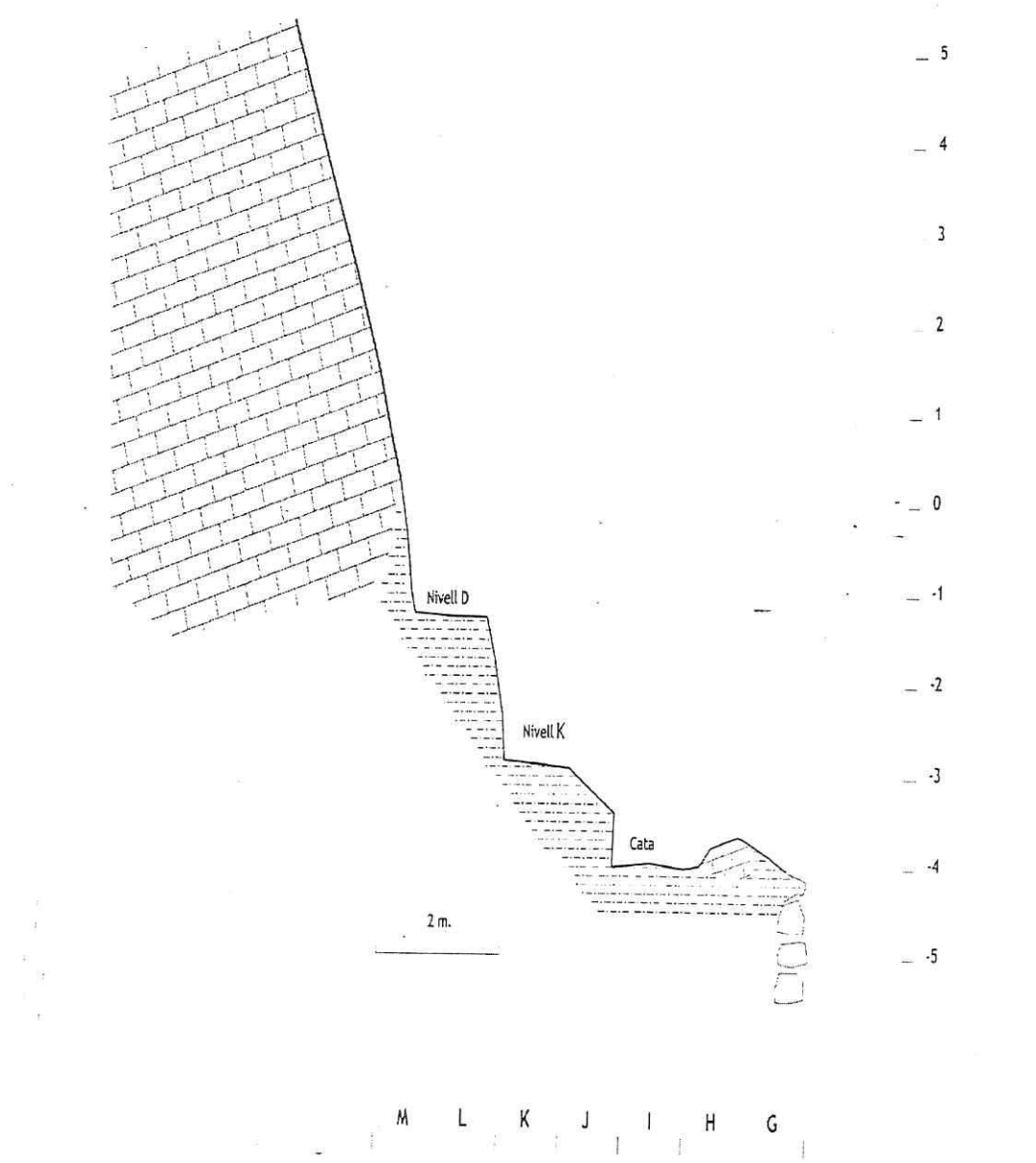


Figura 22 . Secció transversal de l'Estret de La Riba, a la zona on es troba el jaciment de La Cansaladeta



*Figura 23. Secció transversal del jaciment de La Cansaladeta, per la línia dels quadres 25*

## ANNEX V. PLANTES AMB LA DISTRIBUCIÓ DEL MATERIAL ARQUEOLÒGIC

A les figures 24 i 25 es presenta la distribució del material arqueològic mitjançant gràfiques de dispersió de punts. S'hi diferencien les restes lítiques de les faunístiques. A més, s'assenyalen les cotes de base que serveixen de planta topogràfica de detall de l'àrea intervinguda.

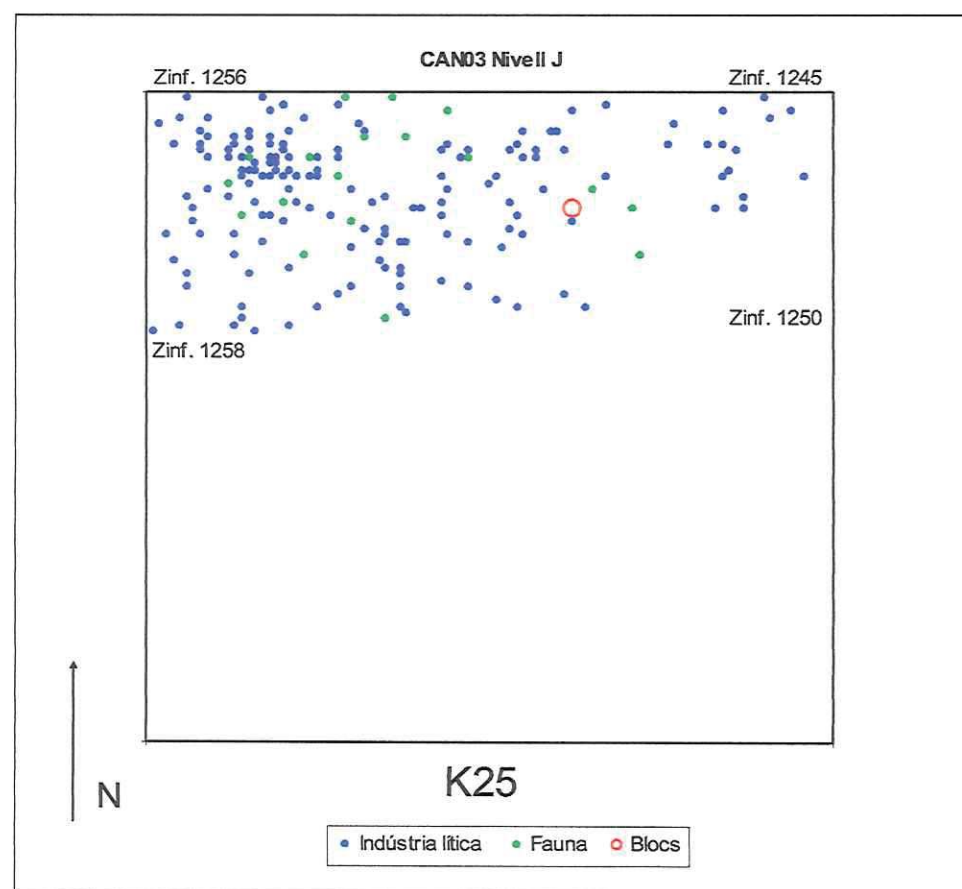


Figura 24. Cansaladeta 2003. Planta de distribució del material coordinat del nivell J, amb les cotes inferiors

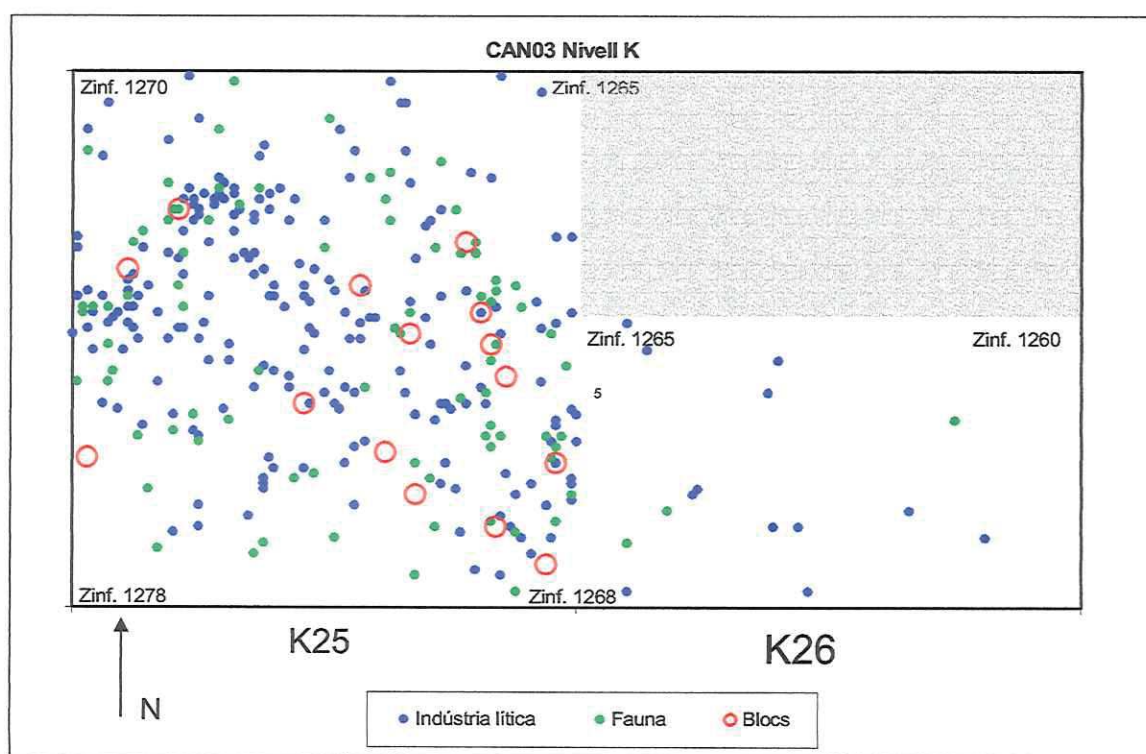


Figura 25. Cansaladeta 2003. Planta de distribució del material coordenat del nivell K, amb les cotes inferiors

## ANNEX VI. DIARI DE CAMP

---

*Del 12 al 15 de maig de 2003*

---

**Excavadors:** A. Ollé, X.P. Rodríguez i J.Mª Vergès.

S'intervé al quadre K25, on s'acaba d'excavar el nivell J. El sediment es compon quasi exclusivament d'arenes fines d'origen al·luvial, ben estratificades. Va apareixent encara gran quantitat de material, essencialment lític. Per sota de la concentració de material, va apareixent un tram estèril, d'uns 3-5 cm. de potència, on apareix un sediment mixt, amb arenes i argiles.

- Al quadre K26 l'excavació estava més avançada, així que el que s'ha fet és arribar a la base del nivell K, en la qual hi ha una capa bastant contínua de blocs de calcària decimètrics i subdecimètrics. En principi, deixa d'aparèixer material. En lloc de seguir baixant, s'opta per arribar a aquesta cota al quadre K25, per tal de posar al descobert una paleosuperfície contínua (base del nivell K).

*Del 16 al 23 de maig de 2003*

---

**Excavadors:** A. Ollé, X.P. Rodríguez i J.Mª Vergès.

S'intervé únicament al quadre K25. Després de superar l'esmentat tram estèril, comença a aparèixer una concentració important de material, corresponent al nivell K. En aquest, a més de nombrosos objectes lítics, apareixen abundants restes faunístiques, encara que amb importants alteracions postdeposicionals.

El sediment que conté el nivell K està compost quasi exclusivament per argiles d'aportació col·luvial, que, zonalment, es presenten fortament carbonatades. Les arenes fines desapareixen, i, tot i que quantitativament no tenen importància, és de destacar la presència esporàdica de graves de format petit (codolets de quars i quarsita ben rodats). A la base del nivell, apareix una capa bastant contínua de blocs de calcària, que se segueix clarament cap als quadres contigus.

En acabar l'excavació, s'ha protegit tota l'àrea intervinguda amb una lona i sediment a sobre, per evitar l'erosió per la pluja i la colonització vegetal de les superfícies arqueològiques.

## ANNEX VII. FOTOGRAFIES DE L'EXCAVACIÓ



Figura 26. Vista general de l'excavació a l'inici de la campanya de 2003. Els quadres intervinguts durant aquesta han estat els de la meitat dreta de la fotografia



Figura 27. Excavació del nivell K al quadre K-25



Figura 28. Aspecte del nivell K al quadre K-25



Figura 29. Base natural de gres del nivell K al quadre K-25

Figura 30. K-25, nivell K, indústria lítica en sílex i fauna

## BIBLIOGRAFIA

---

Angelucci, D.; Gené, J.M.; Ollé, A.; Vaquero, M.; Vergès, J.M.; Allué, E.; Fontanals, M.; Ibáñez, N.; Lozano, M.; Rodríguez, X.P.; Saladié, P. & Zaragoza, J. (e.p.). Darreres intervencions arqueològiques en jaciments paleolítics de la conca del Francolí: la Cansaladeta (la Riba, Alt Camp) i el Molí del Salt (Vimbodí, Conca de Barberà). *Tribuna d'Arqueologia*.

Institut Cartogràfic de Catalunya. Mapa Topogràfic de Catalunya 1:5.000. Full 446-1-1. La Riba.